



Desastres Naturais: o caso dos escorregamentos de terras

**DGEO - ECTUE
Universidade de Évora
Évora - Portugal, 07/12/2017**

Doutor Luiz Tadeu da Silva



Fonte: <http://veja.abril.com.br/brasil/cidades-brasileiras-enfrentam-o-verao-despreparadas-para-as-chuvas/>
Região Serrana do Rio de Janeiro – Brasil em janeiro/2011. Créditos da imagem: Antonio Lacerda/EFE/VEJA

Risco, Perigo e Desastre

Apesar de alguns autores reconhecerem que os risco e perigos são apresentados frequentemente como sinônimos, eles não apontam muito claramente a diferença entre eles.

No entanto, mantêm os dois vinculados ao mesmo processo.

Em especial no estudo de MARANDOLA (2004), os autores focalizam o risco, realizando uma ampla revisão sobre a avaliação do risco ambiental, enfatizando o momento anterior ao perigo.

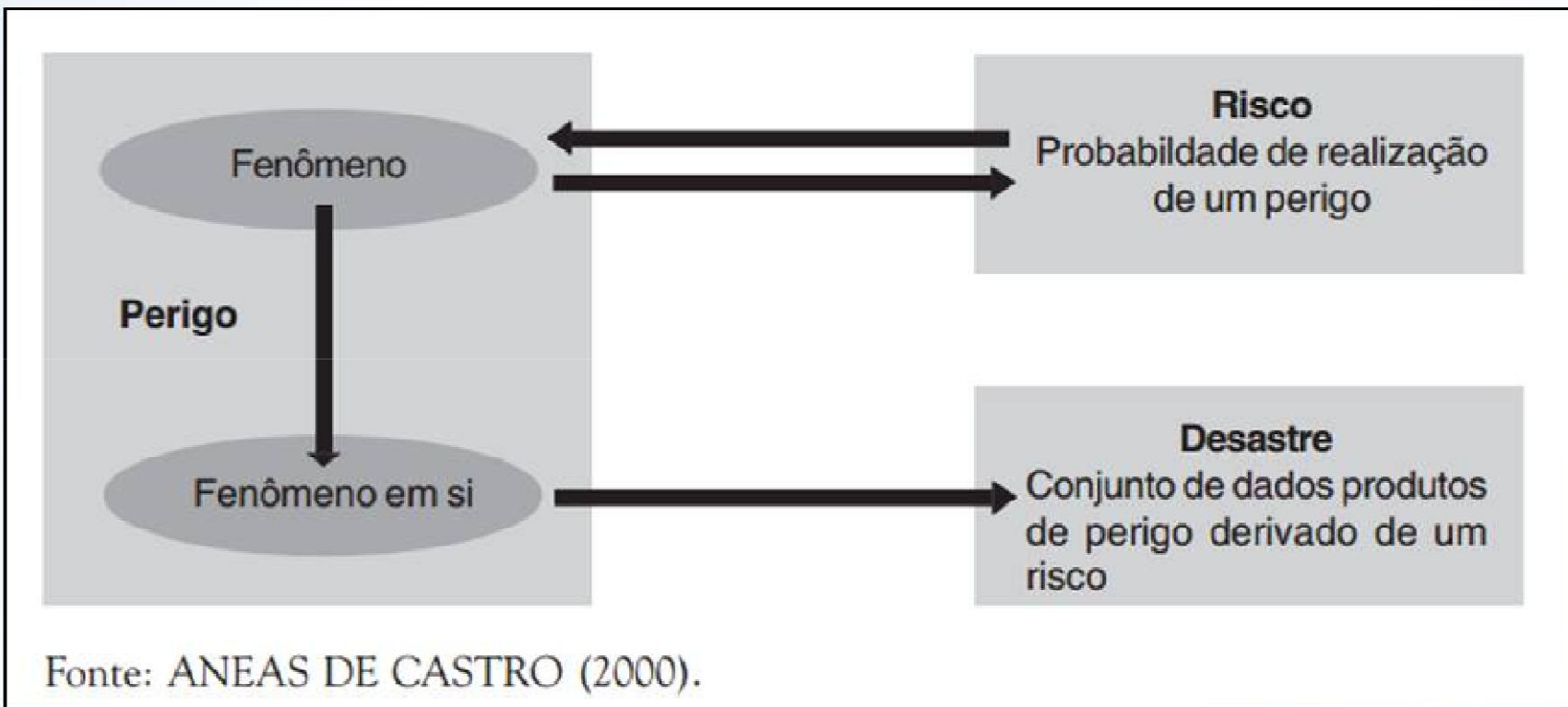
Risco, Perigo e Desastre

Segundo (CASTRO, 2000) o risco é a probabilidade de realização de um perigo, enquanto o desastre é o resultado de um perigo derivado de um risco, com determinada magnitude.

O perigo, é o fenômeno potencial tanto quanto o fenômeno consumado.

Significa dizer que não há perigo sem risco, nem risco sem perigo.

Risco, Perigo e Desastre



Desastre

Segundo a UN-ISDR (2009), desastre é caracterizado como uma grave perturbação de uma comunidade ou sociedade, envolvendo grandes perdas, cujos impactos excedem a capacidade das mesmas em arcar com seus próprios recursos.

Eventos Naturais X Desastres Naturais

EVENTOS NATURAIS representam um conjunto de fenômenos que fazem parte da natureza do planeta.

Quando estes eventos ocorrem em áreas densamente urbanizadas são chamados de DESASTRES NATURAIS.

Desastres Naturais

Principais desastres naturais que atingem o Brasil

Escorregamentos de Terras

Secas

Tempestades

Hidrológicos

Ocorrem principalmente no período chuvoso, tendo em vista os maiores acumulados de precipitação.

Desastres Naturais

**Quais são os principais impactos
associados aos desastres naturais que o mundo vive?**

Sociais

Econômicos

Ambientais



O caso dos escorregamentos de terras

**Bacia do Rio Bengalas
Município de Nova Friburgo
Região Serrana do Estado do Rio de Janeiro
Brasil
Janeiro de 2011**

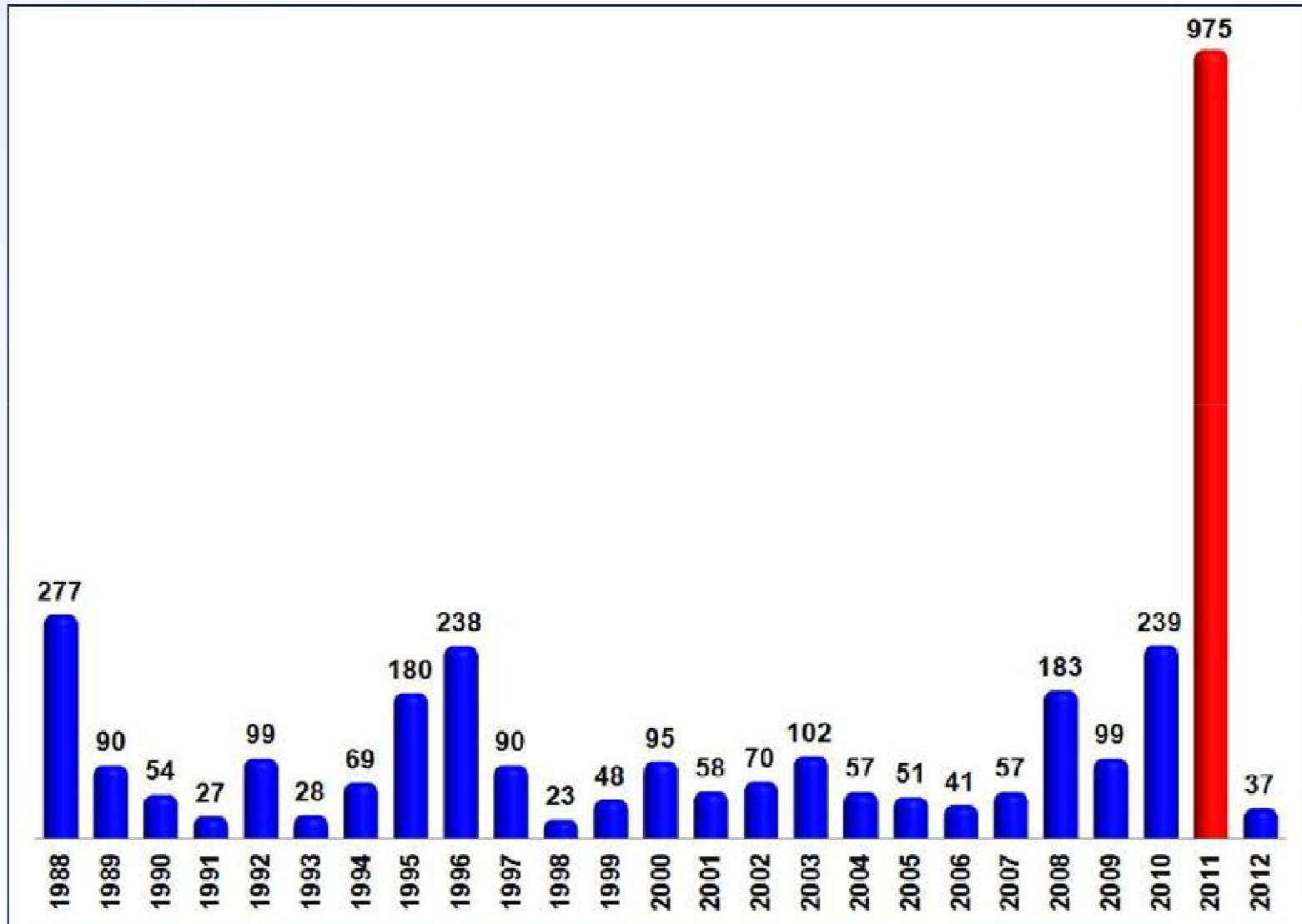
Objectivo

Desenvolver novas metodologias capazes e eficazes no cálculo da suscetibilidade e da vulnerabilidade a escorregamentos de terra, utilizando dados ambientais e de precipitação de chuvas.

Justificativas

Justificativas

Distribuição anual do número de mortes por escorregamentos de terra no Brasil



Fonte: IPT (2009), adaptada pelo Autor.

Justificativas

- ✓ Constatou-se na área de Estudo (BBC-Brasil 2012)
 - 429 óbitos (**44% de todo o Brasil em 2011**)
 - 789 desabrigados (**amparados pelo Governo**)
 - 4.528 desalojados (**amparados pelas famílias**)
 - **183 escorregamentos de terra**
- ✓ Município: Prejuízo de US\$ 882 milhões
- ✓ Indústria: Prejuízo de US\$ 412 milhões
- ✓ **20% das empresas foram destruídas, deixando de arrecadar/mês US\$ 11,7 milhões aos cofres públicos (R7 NOTÍCIAS, 2011a).**

Justificativas

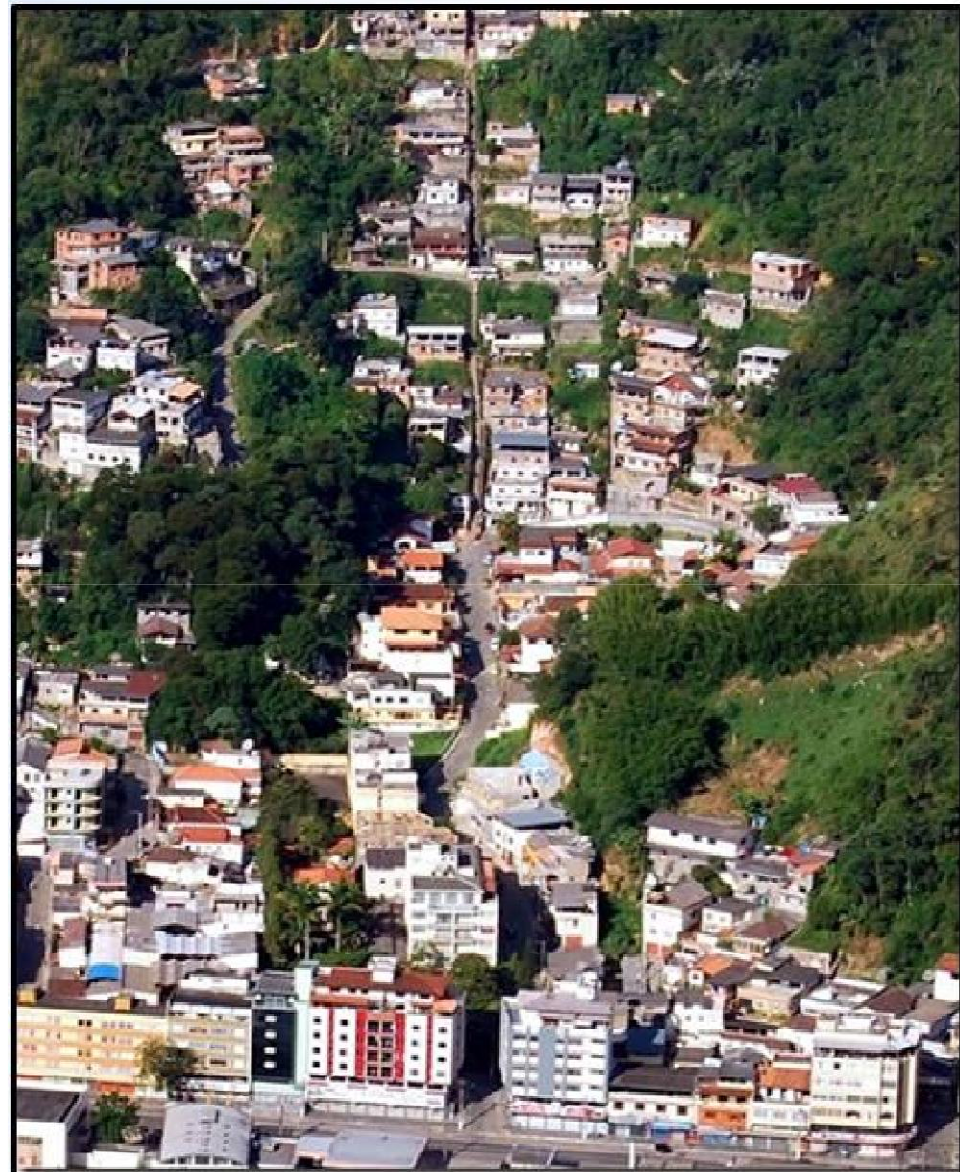
- ✓ Entre o dia 11 e 12/janeiro/2011, um forte temporal atingiu o Município de Nova Friburgo, Região Serrana do Estado do Rio de Janeiro, Brasil,

com uma precipitação de chuva na ordem de

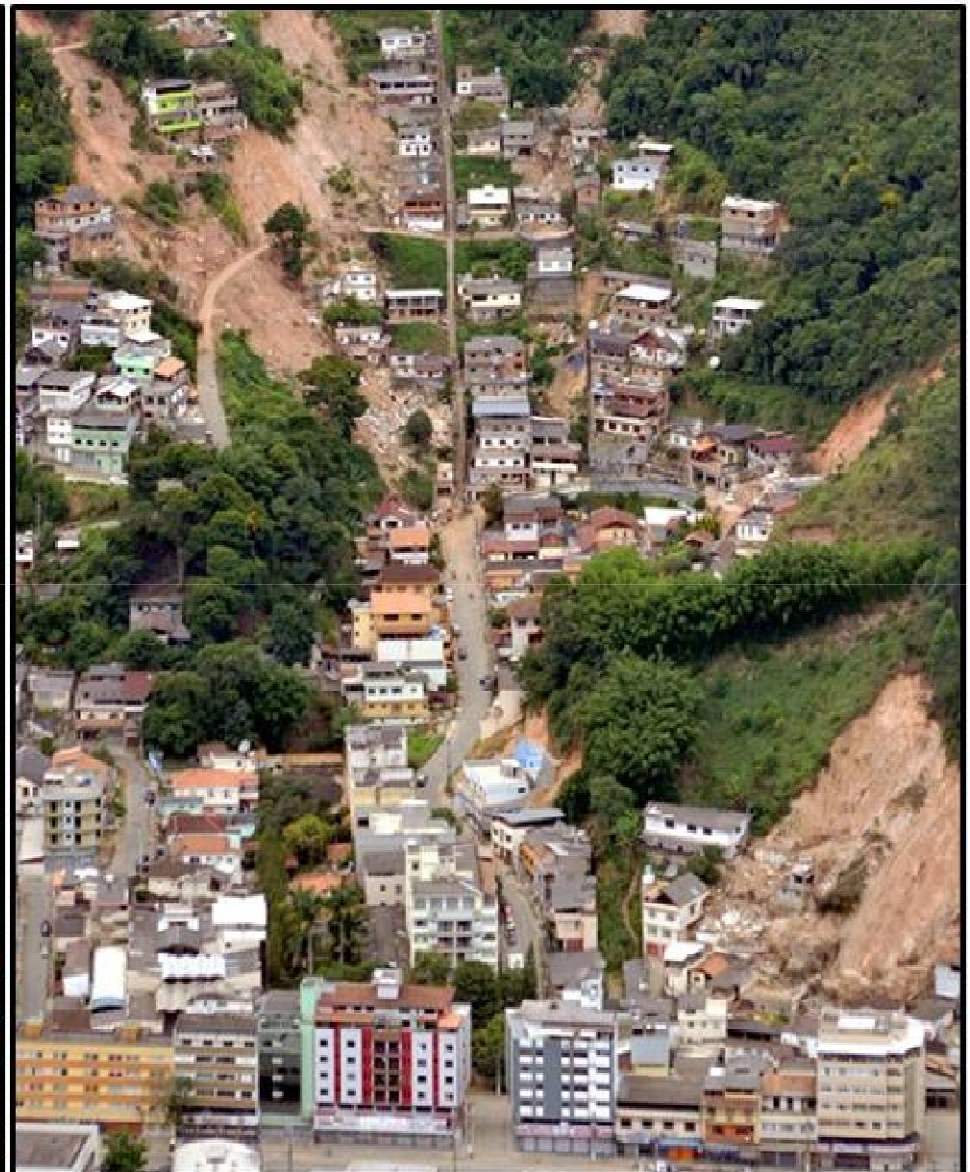
- 83,73 mm: 11/janeiro }
- 136,03 mm: 12/janeiro } **$\Sigma 219,76 \text{ mm}$**
- 84,98 mm: Acumulada 5 dias (07 a 11/janeiro)
- 219,94 mm: Acumulada 5 dias (08 a 12/janeiro).

Segundo as Normais Climatológicas as chuvas esperadas para o Município para o mês de janeiro é de 232,1 mm (INMET, 2009).

Antes



Após janeiro/2011



Conceitos

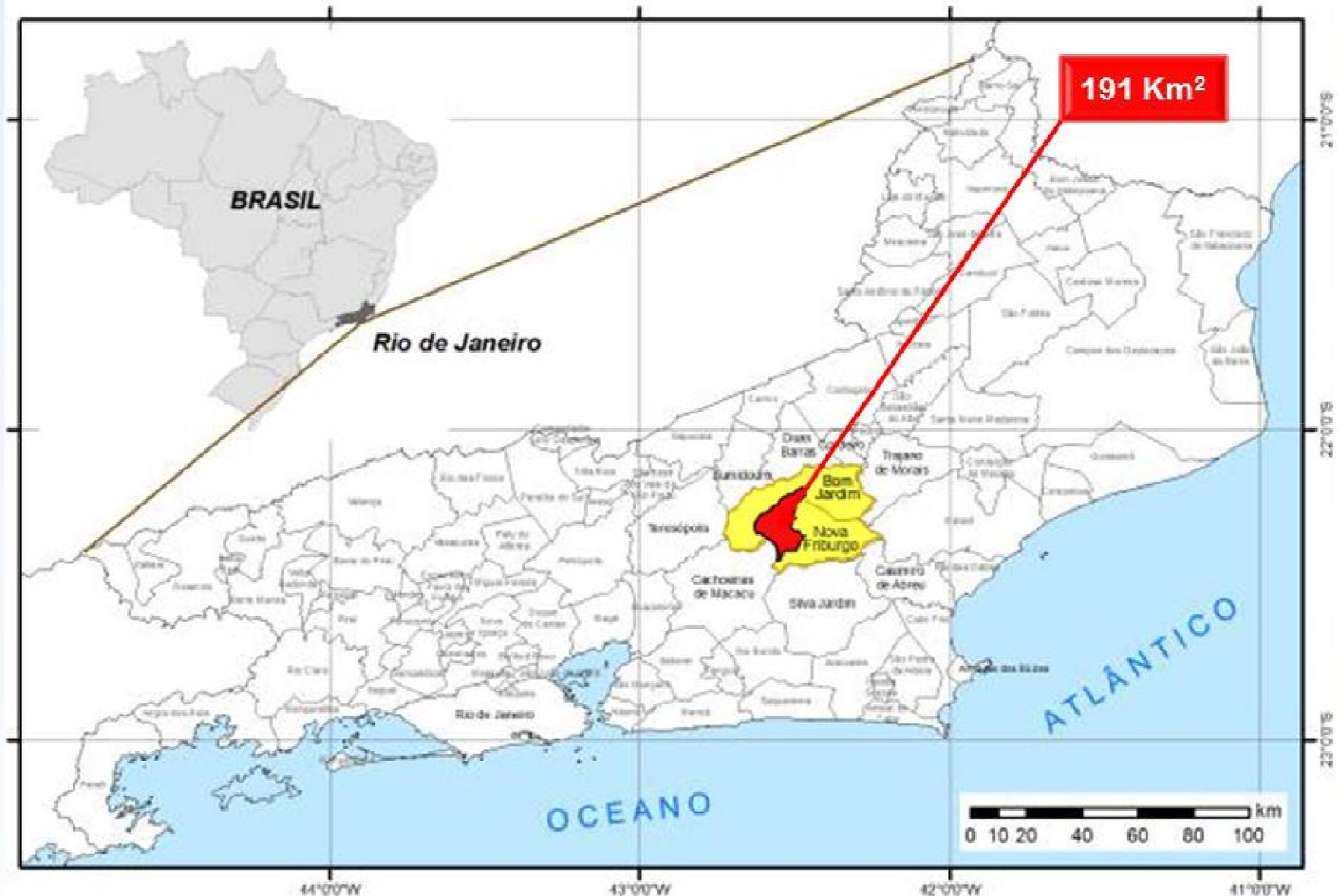
Suscetibilidade a escorregamentos de terra

É a disposição, a tendência ou a sensibilidade que uma determinada área geográfica tem em sofrer este tipo de desastre (Silva, 2014).

Vulnerabilidade a escorregamentos de terra

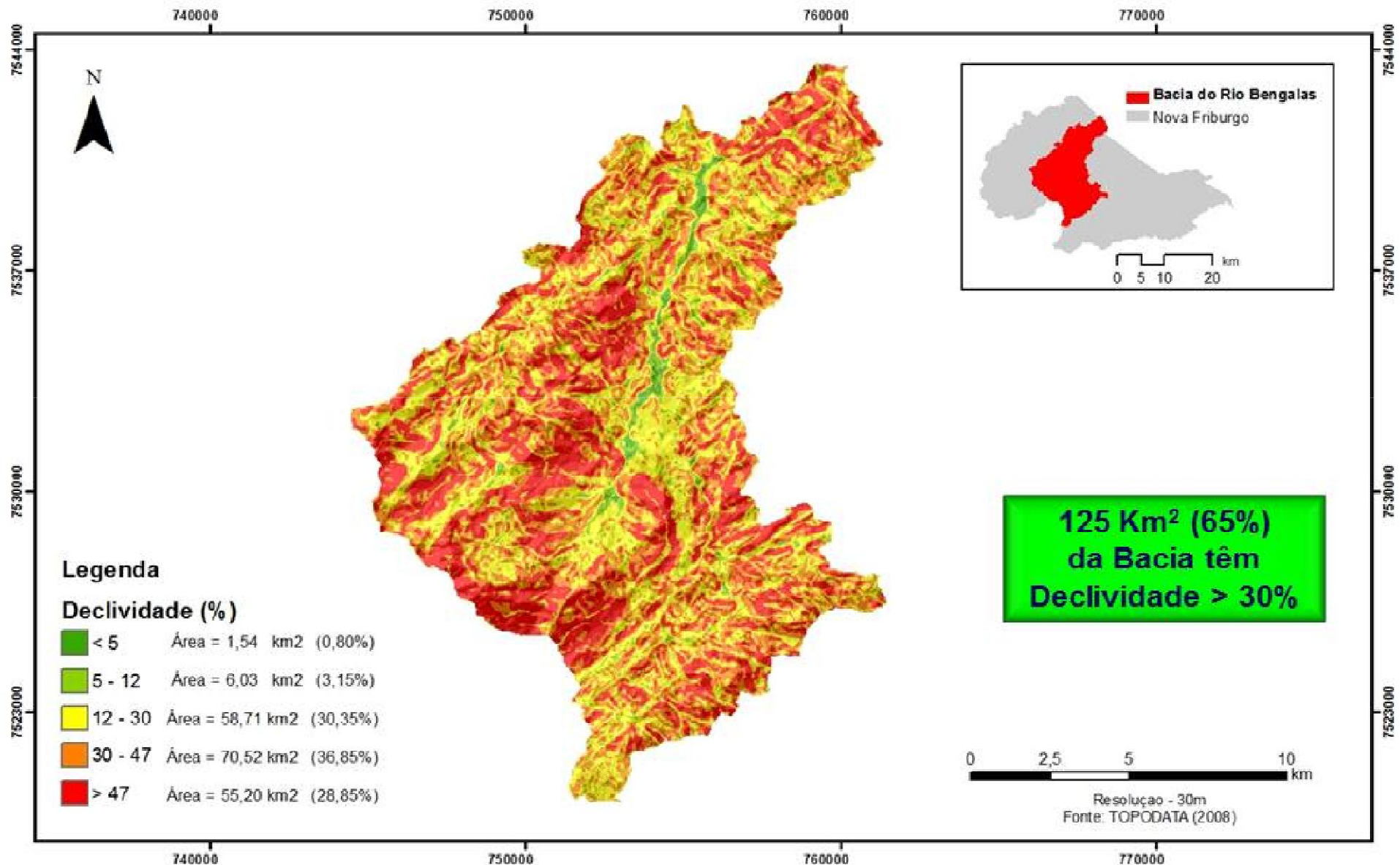
É a condição de risco que uma determinada área geográfica tem em sofrer tais desastres, a partir de expressiva ocorrência de precipitação de chuvas nesta área (Silva, 2014).

Área de Estudo



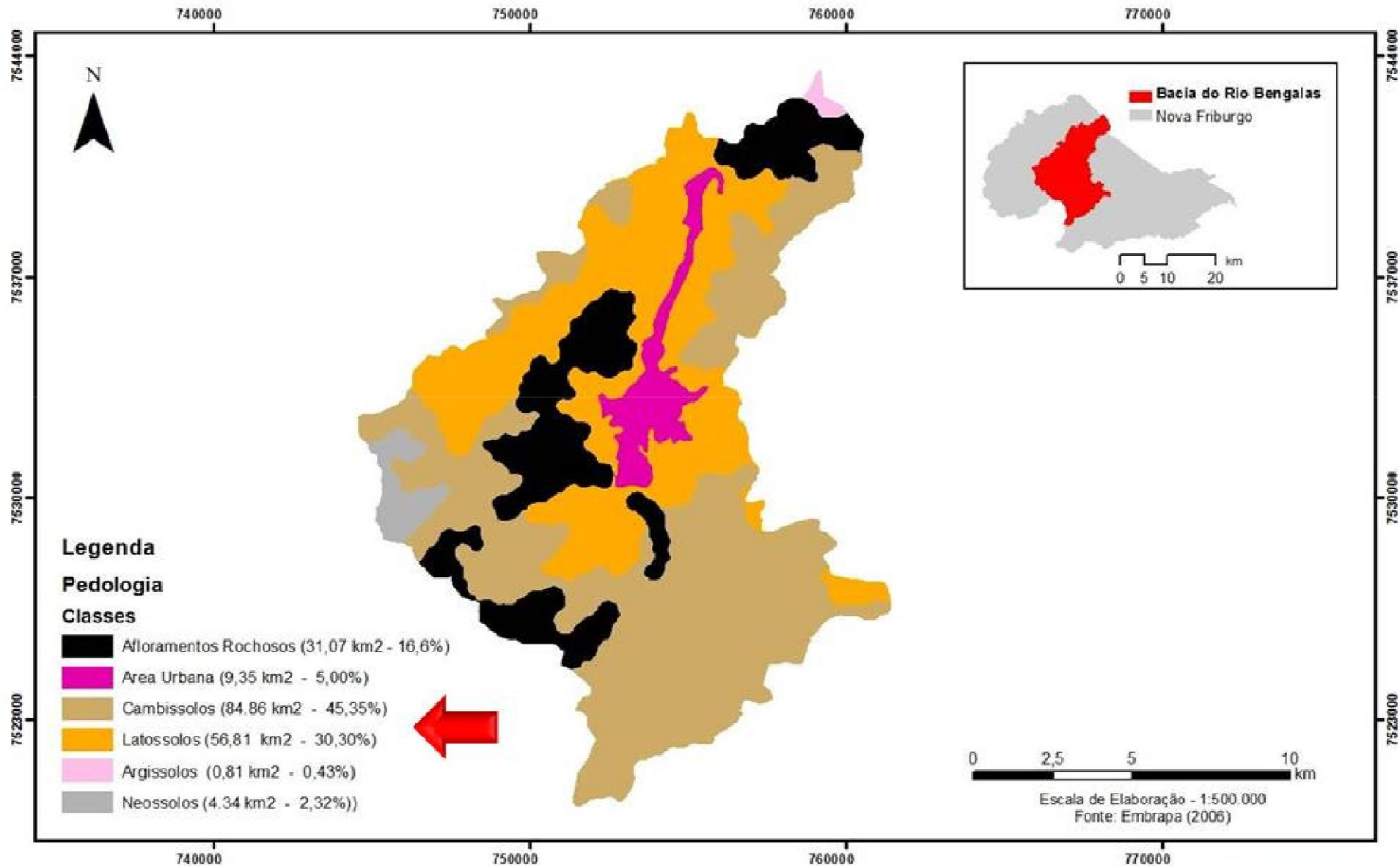
Fonte: IBGE (2011b), adaptada pelo Autor.

Área de Estudo: Declividade



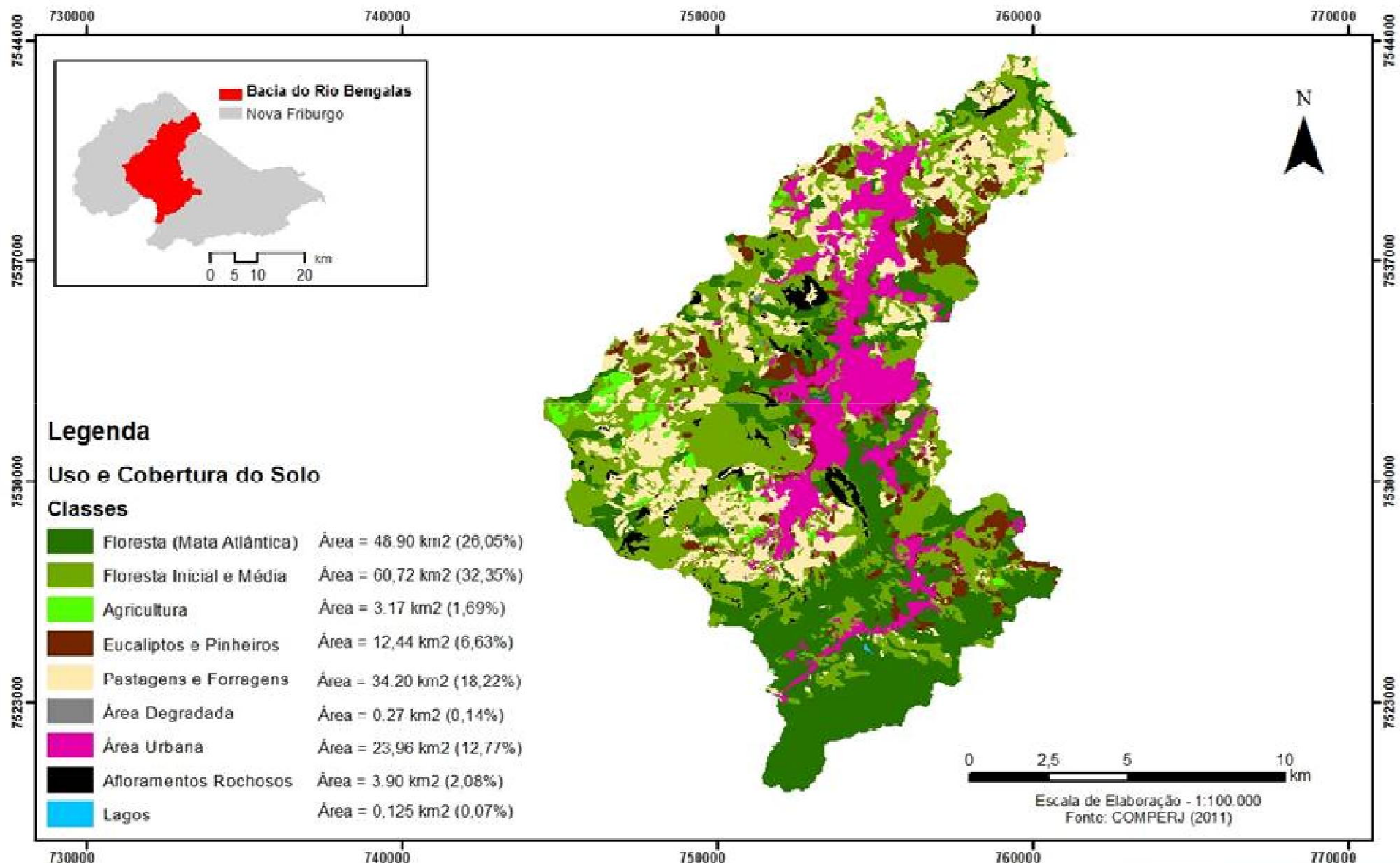
Fonte: Própria, dados provenientes do TOPODATA (2008).

Área de Estudo: Pedologia



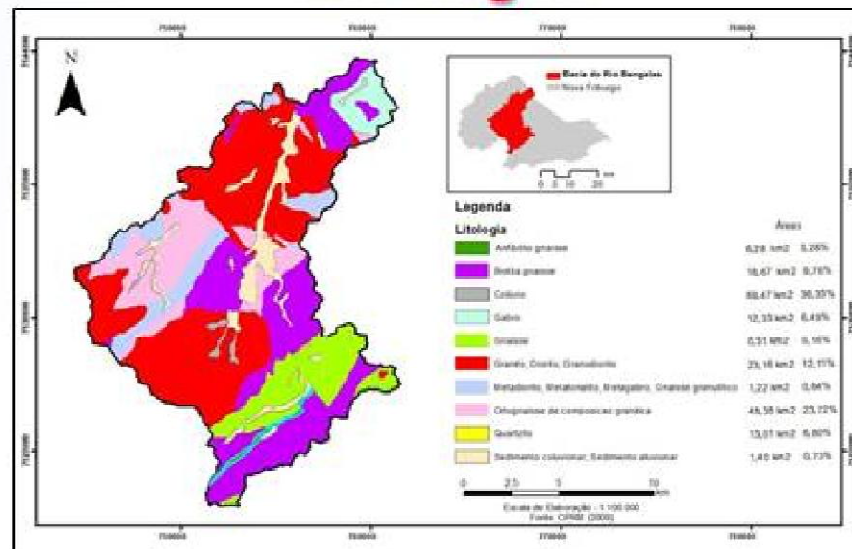
Fonte: Própria, dados provenientes da EMBRAPA (2006).

Área de Estudo: Uso e Cobertura do solo

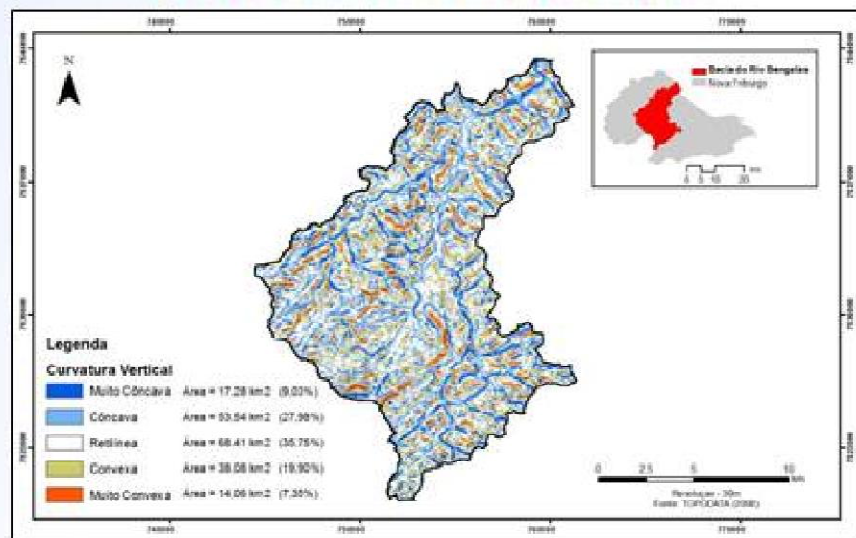


Fonte: Própria, dados provenientes do COMPERJ (2011).

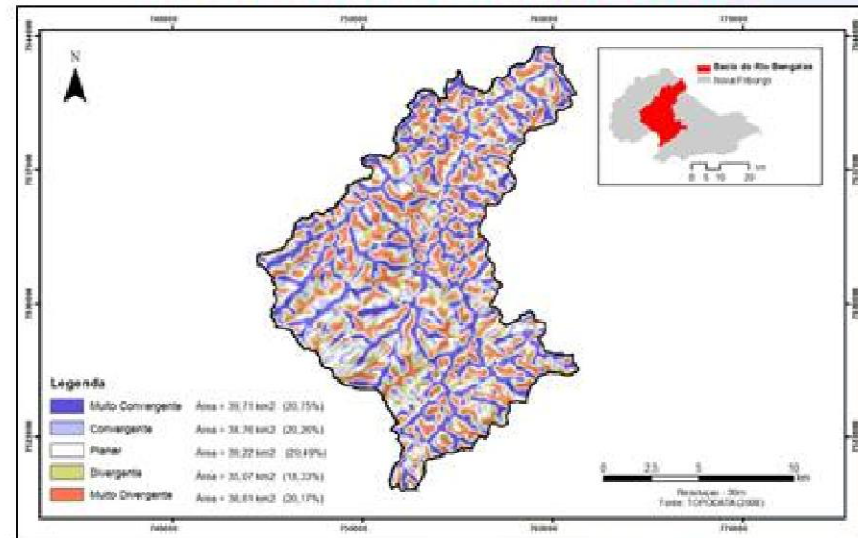
Litologia



Curvatura Vertical



Curvatura Horizontal



Metodologia existente na Literatura

Metodologia existente na Literatura

$$V = \frac{G + R + S + Vg + C}{5}$$

Onde:

V = Vulnerabilidade

G = vulnerabilidade para Geologia

**R = vulnerabilidade para Geomorfologia
(dissecação, altimetria e declividade)**

S = vulnerabilidade para Solos

Vg = vulnerabilidade para Vegetação

C = vulnerabilidade para Clima

Fonte: CREPANI (2001, p. 22 e 81)



Resultados

***Novas
Metodologias desenvolvidas***

Cálculo da Suscetibilidade

Termo 1 Suscetibilidade

$$S = \left(\frac{\sqrt{Vdc} + \sqrt{Vpd} + \sqrt{Vli} + \sqrt{Vus} + \sqrt{Vcv} + \sqrt{Vch}}{NVA} \right)$$

NVA

: Número de Variáveis (6)

S

: Suscetibilidade

\sqrt{Vdc}

: Raiz Quadrada da Variável Declividade

\sqrt{Vpd}

: Raiz Quadrada da Variável Pedologia

\sqrt{Vli}

: Raiz Quadrada da Variável Litologia

\sqrt{Vus}

: Raiz Quadrada da Variável Uso e Cobertura do Solo

\sqrt{Vcv}

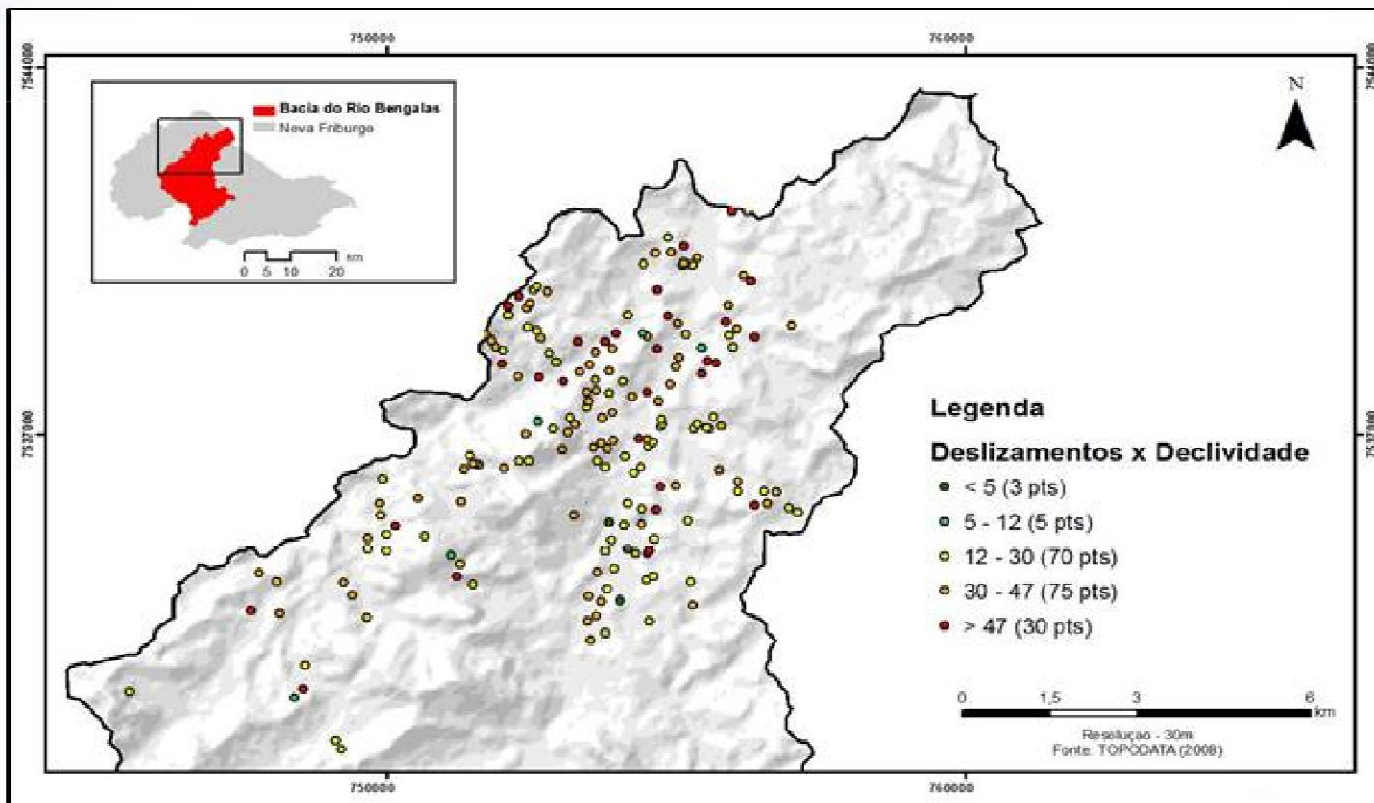
: Raiz Quadrada da Variável Curvatura Vertical

\sqrt{Vch}

: Raiz Quadrada da Variável Curvatura Horizontal

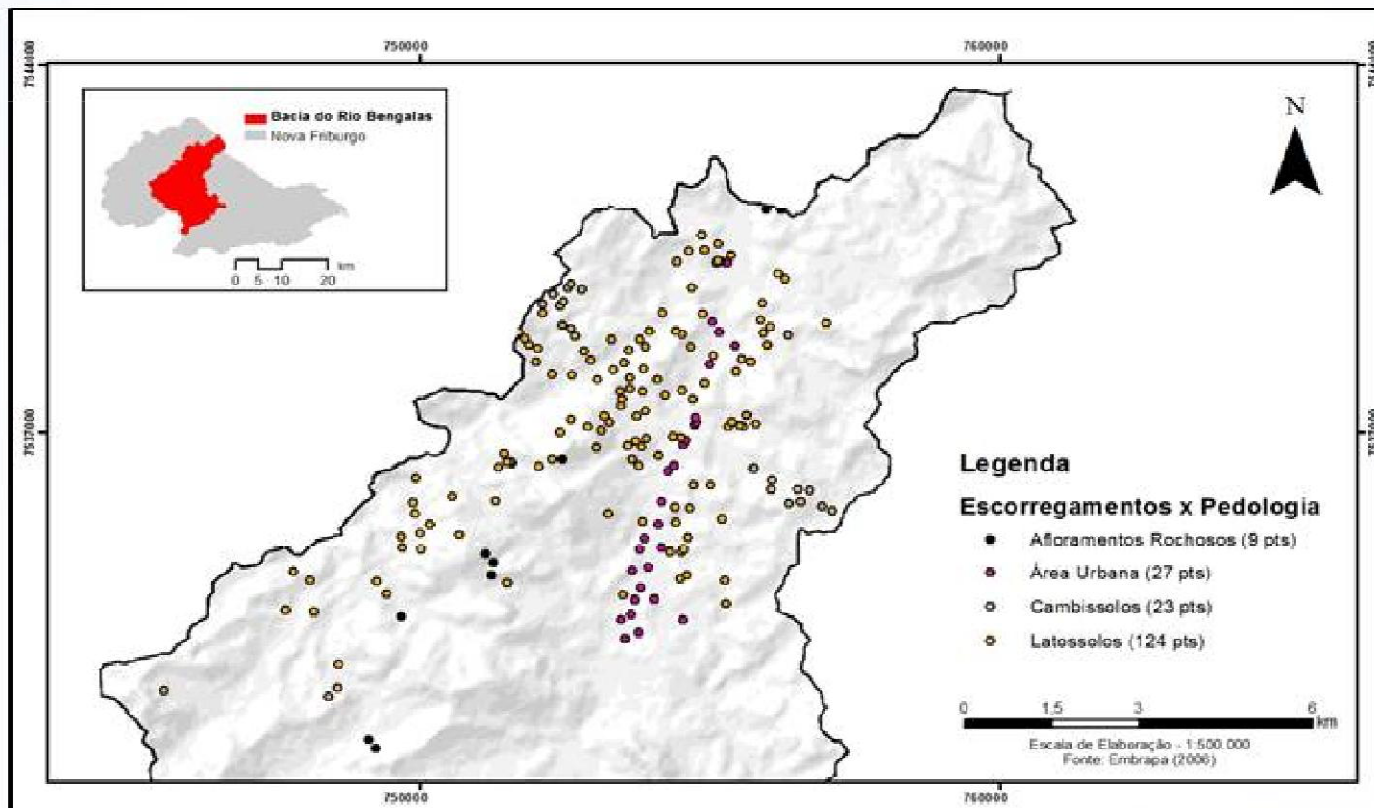
Declividade

Declividade	Pesos: Ponderação Adotada
< 5%	0,02
5 a 12%	0,03
12 a 30%	0,38
30 a 47%	0,41
> 47%	0,16



Pedologia

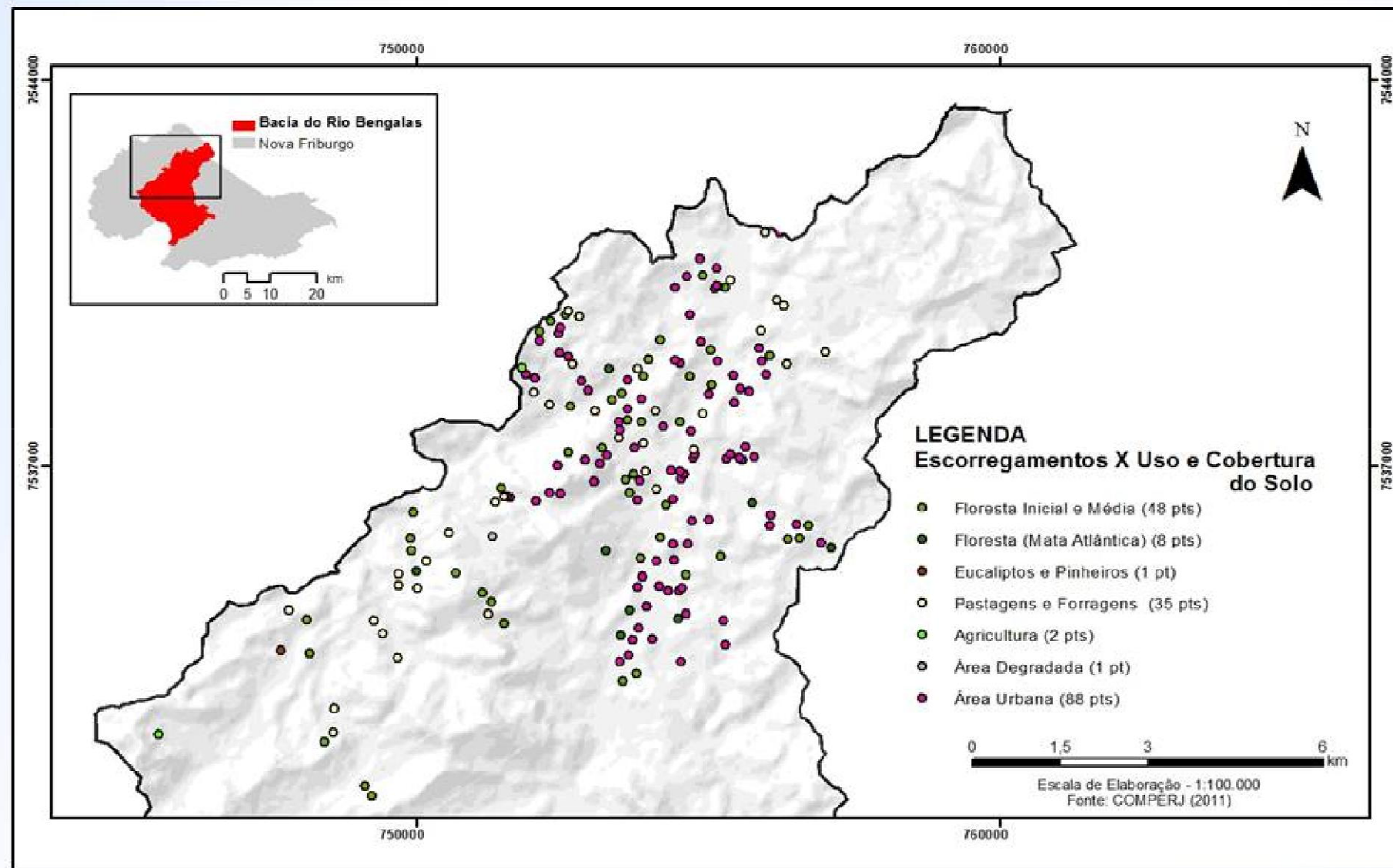
Pedologia	Pesos: Ponderação Adotada
Cambissolos	0,13
Área Urbana	0,20
Latossolos	0,68
Afloramentos Rochosos	0,00
Argissolos	0,00
Neossolos	0,00



Uso e Cobertura do Solo

Uso e Cobertura do Solo	Pesos: Ponderação Adotada
Lagos	0,00
Floresta (Mata Atlântica)	0,04
Eucaliptos e Pinheiros	0,01
Floresta Inicial e Média	0,26
Pastagens e Forragens	0,19
Agricultura	0,01
Área Degrada	0,01
Afloramentos Rochosos	0,00
Área Urbana	0,48

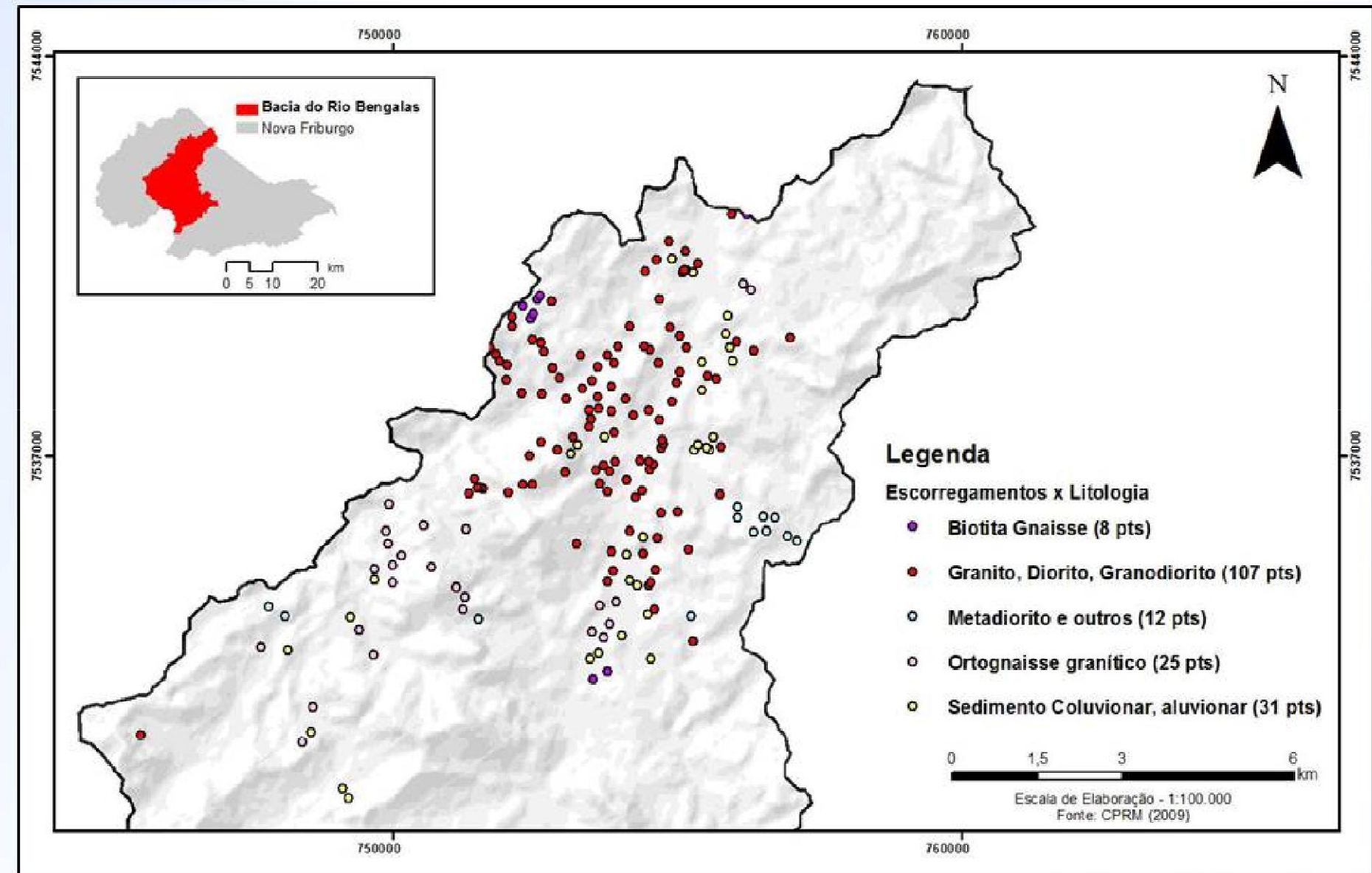
Uso e Cobertura do Solo



Litologia

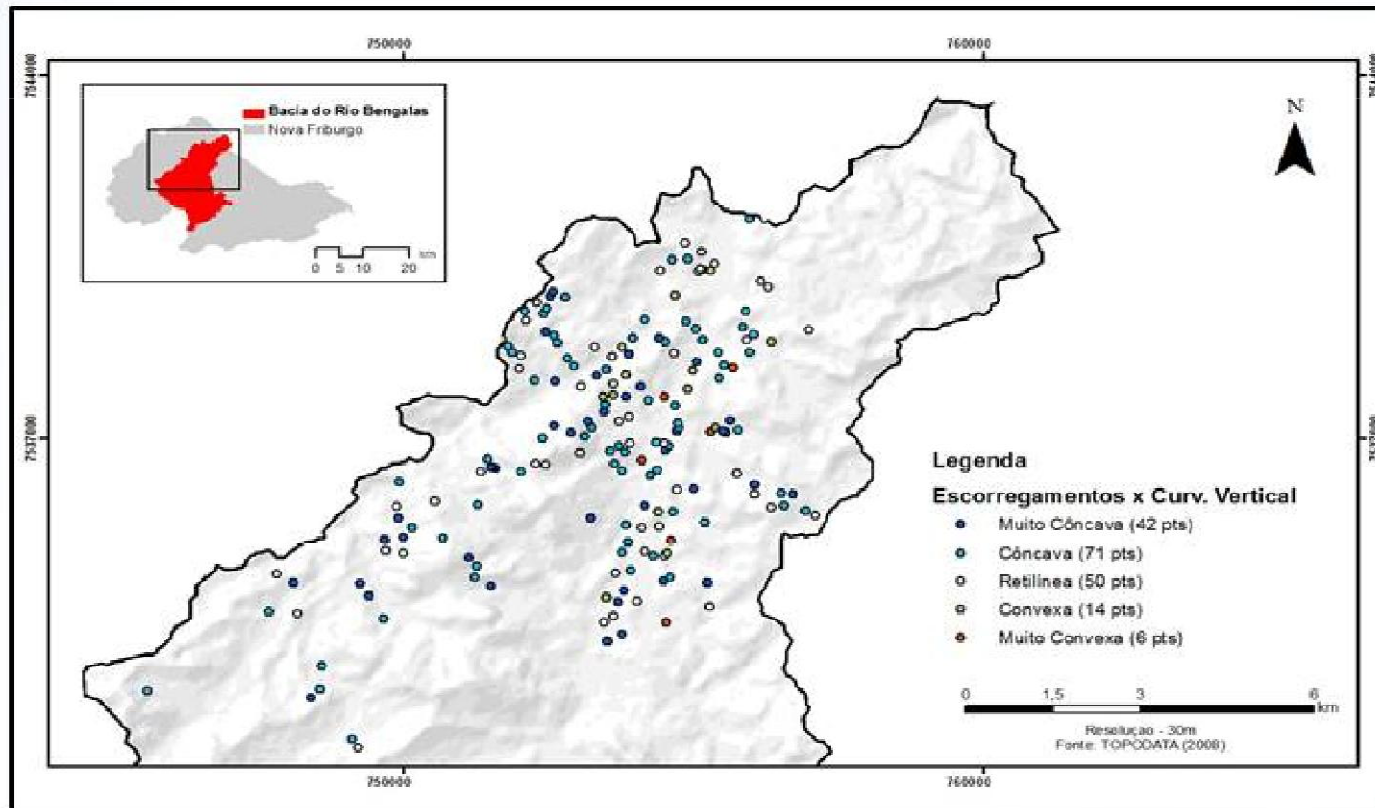
Litologia	Pesos: Ponderação Adotada
Rochas Igneas	
Gabro	0,00
Gnaisse	0,00
Granito, diorito e granodiorito; e Metadiorito, metatonalito, metagabro e gnaisse granulítico.	0,65
Quartzito	0,00
Ortognaisse de composição granítica.	0,14
Rochas Metamórficas	
Anfibólio gnaisse	0,00
Biotita gnaisse	0,04
Rochas Sedimentares	
Colúvio; e Sedimentos aluvionar e coluvionar.	0,17

Litologia



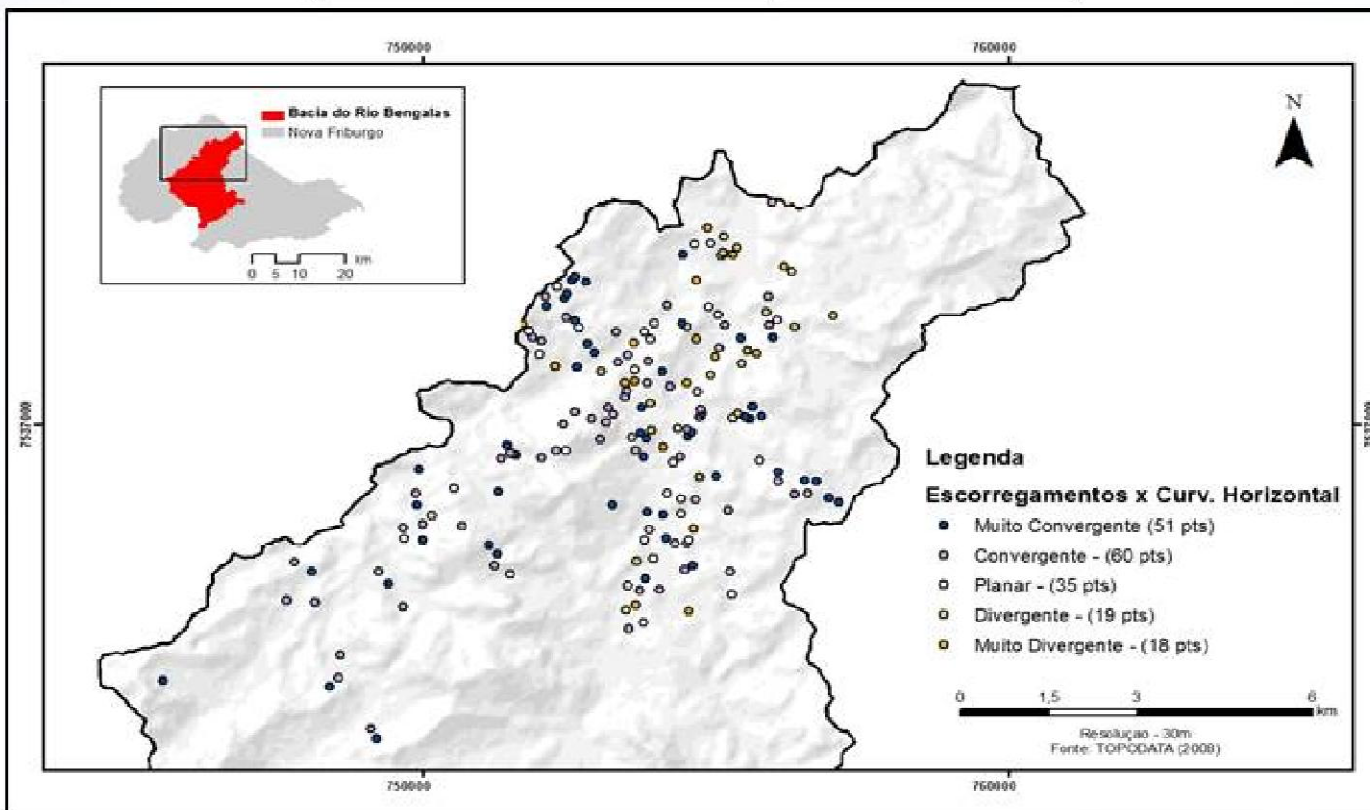
Curvatura Vertical

Curvatura Vertical	Pesos: Ponderação Adotada
Muito Convexa	0,03
Convexa	0,08
Retilinea	0,27
Côncava	0,39
Muito Côncava	0,23

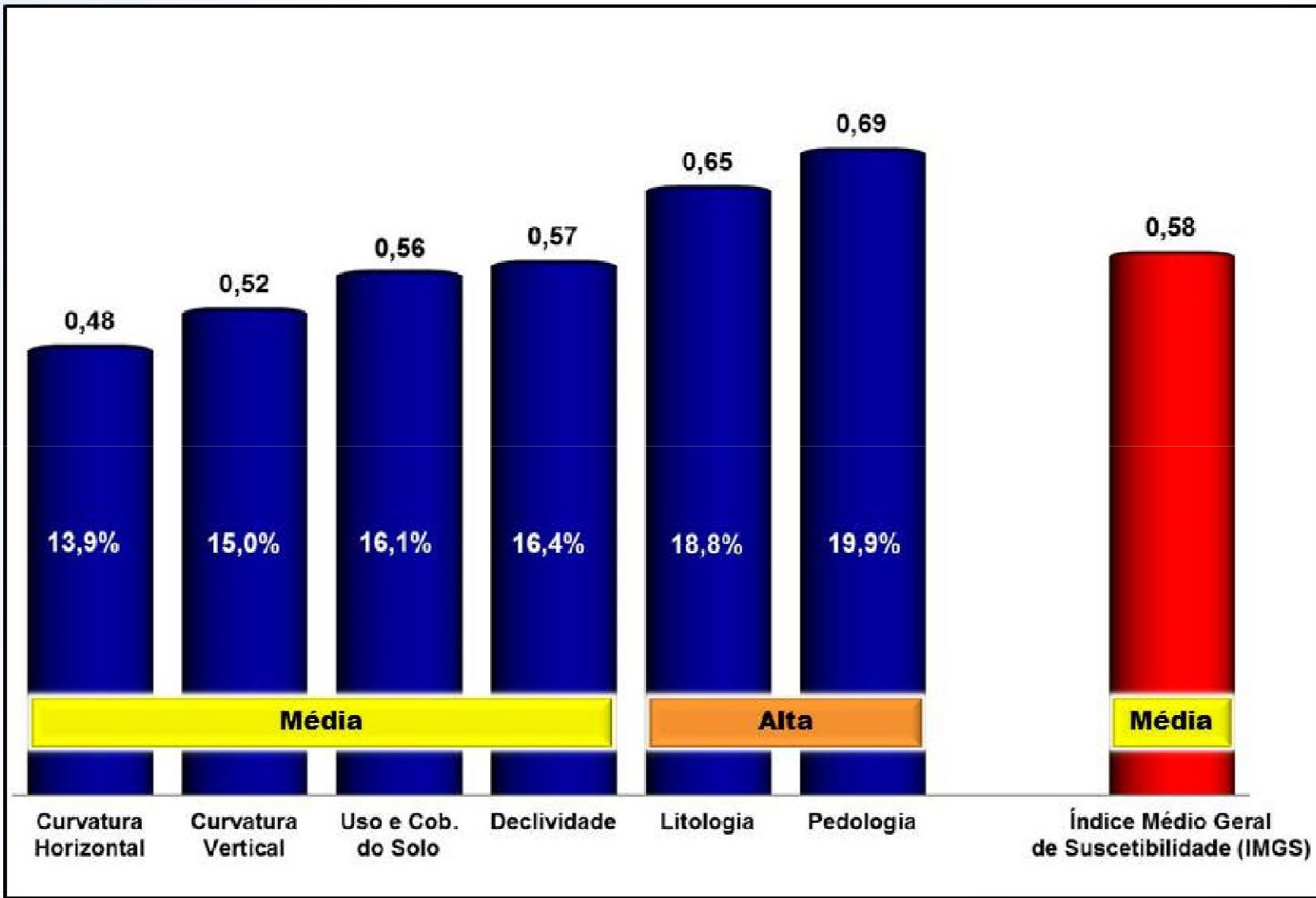


Curvatura Horizontal

Curvatura Horizontal	Pesos: Ponderação Adotada
Muito Divergente	0,10
Divergente	0,10
Planar	0,19
Convergente	0,33
Muito Convergente	0,28



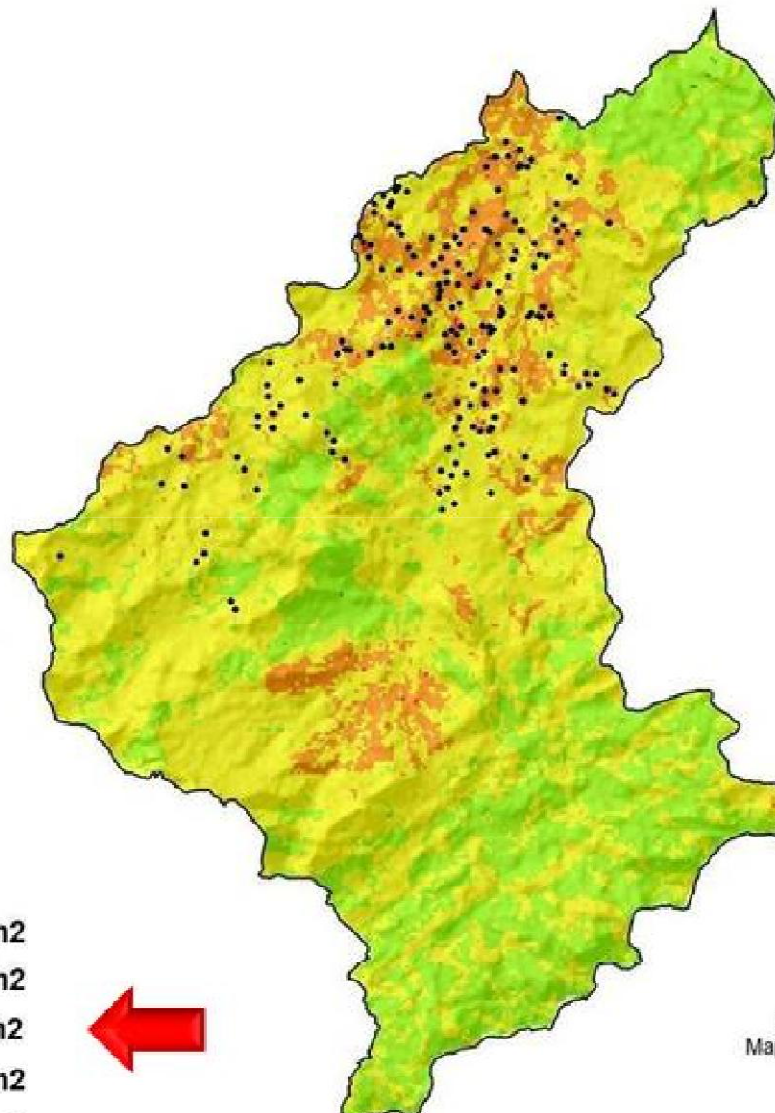
IMSV & IMGS



IMSV: Índice Médio de Suscetibilidade da Variável
IMGS: Índice Médio Geral de Suscetibilidade

Mapa de Suscetibilidade

N
↑



Legenda

- Escorregamentos

Suscetibilidade

■ 0,00 - 0,19	1,15 Km ²
■ 0,20 - 0,39	52,72 Km ²
■ 0,40 - 0,59	114,22 Km ²
■ 0,60 - 0,69	22,73 Km ²
■ ≥ 0,70	0,19 Km ²



0 1,5 3 6
km

Resultado obtido através da ferramenta:
Map Algebra (Raster Calculator), do ArcMap 10
Resolução: 1 pi =70m

Cálculo da Vulnerabilidade

Termo 1
Suscetibilidade

Termo 2
Precipitação

$$V = \frac{\left(\frac{\sqrt{Vdc} + \sqrt{Vpd} + \sqrt{Vli} + \sqrt{Vus} + \sqrt{Vcv} + \sqrt{Vch}}{NVA} \right) + \sqrt{\left[\left(\frac{PD}{CPC} \right) + \left(\frac{PA5}{MAXPA5} \right) \right]}}{2}$$

**Termo 2
Precipitação**

$$\sqrt{\left[\left(\frac{PD}{CPC} \right) + \left(\frac{PA5}{MAXPA5} \right) \right] / 2}$$

PD	: Precipitação Diária
CPC	: Coeficiente de Precipitação Crítica (70 mm/24 horas)
PA5	: Precipitação Acumulada de 5 dias
MAXPA5	: Máxima Precipitação Acumulada 5 dias (01/01/1995 a 19/03/2013)

O índice resultante do termo 2 da equação foi classificado de acordo com os pesos pré-definidos a seguir:

Índice resultante do 2º termo da equação		Pesos
De	A	
0,00	0,19	0,00
0,20	0,39	0,20
0,40	0,59	0,40
0,60	0,69	0,60
\geq a 0,70		1,00

***Índices adotados para a
classificação da suscetibilidade e da vulnerabilidade***

Classes da Suscetibilidade / Vulnerabilidade	
Classes	Índices Adoptados
Muito Baixa	0,00 a 0,19
Baixa	0,20 a 0,39
Média	0,40 a 0,59
Alta	0,60 a 0,69
Muito Alta	≥ a 0,70

Vulnerabilidade

Na validação da nova metodologia usou-se dados de:

- **Precipitação acumulada de chuvas para 5 dias (PA5) para medir a magnitude dos eventos.**
- **A série histórica escolhida para a análise foi de 01/01/1995 a 19/03/2013 (13 anos e 3 meses).**
- **Os dias 19/01/2005, 04/01/2007, 12/01/2011 e 18/03/2013 tiveram seus dados separados para análise e validação.**
- **Nestes dias foi registada na área de estudo uma precipitação diária de chuva superior a 80 mm, com a ocorrência de escorregamentos de terra nos dias 04/01/2007 e 12/01/2011.**

Índice Médio da Vulnerabilidade Diária (IMVD)

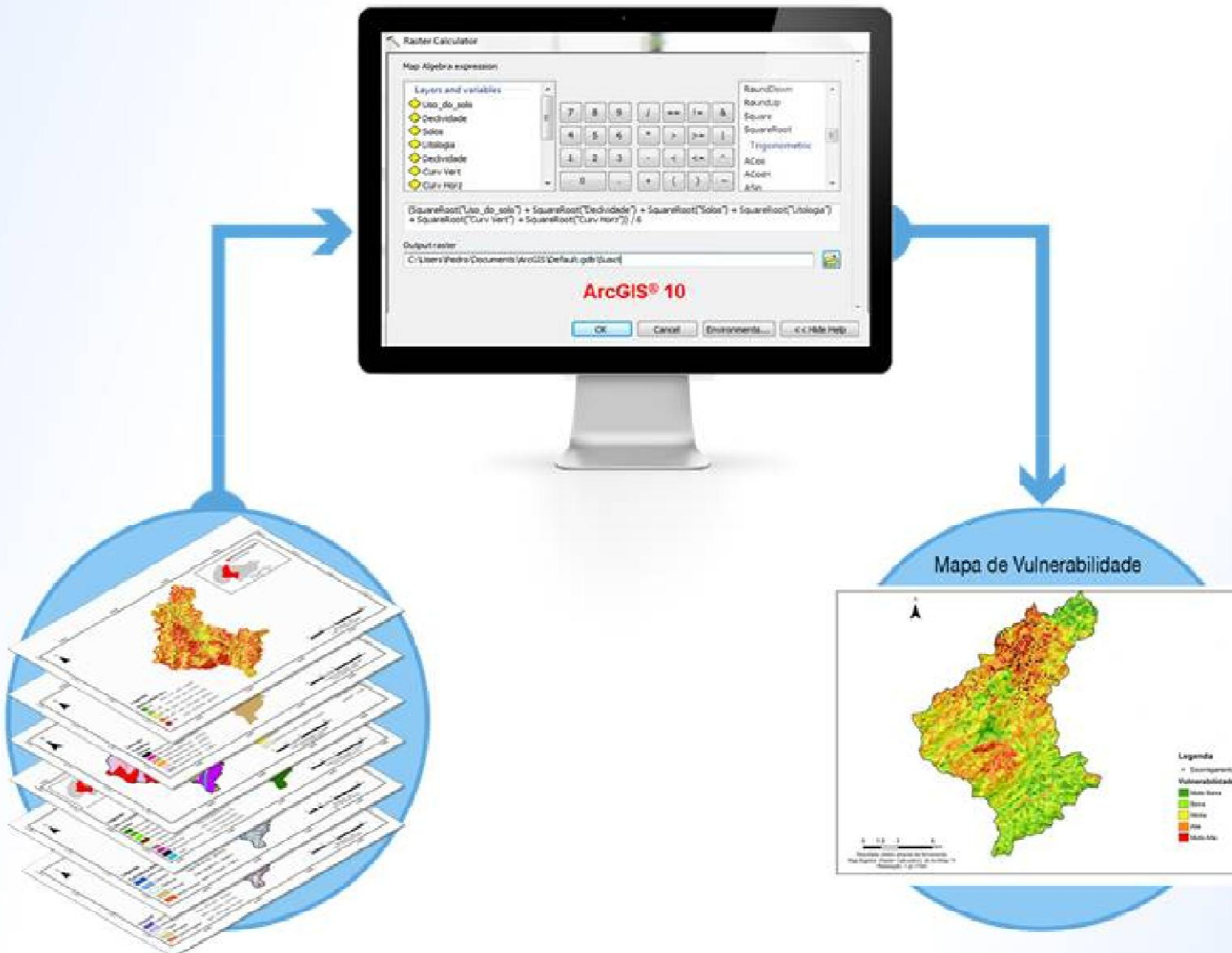
19/01/2005	Nº de Escorregamentos	Cinco (5) dias que antecedem o dia do evento					Dia do Evento
		5º dia	4º dia	3º dia	2º dia	1º dia	
		14/01/2005	15/01/2005	16/01/2005	17/01/2005	18/01/2005	
	0	0,49	0,39	0,39	0,49	0,39	0,79

04/01/2007	Nº de Escorregamentos	Cinco (5) dias que antecedem o dia do evento					Dia do Evento
		5º dia	4º dia	3º dia	2º dia	1º dia	
		30/12/2006	31/12/2006	01/01/2007	02/01/2007	03/01/2007	
	350	0,39	0,39	0,39	0,49	0,79	0,79

12/01/2011	Nº de Escorregamentos	Cinco (5) dias que antecedem o dia do evento					Dia do Evento
		5º dia	4º dia	3º dia	2º dia	1º dia	
		07/01/2011	08/01/2011	09/01/2011	10/01/2011	11/01/2011	
	800	0,39	0,39	0,39	0,29	0,79	0,79

18/03/2013	Nº de Escorregamentos	Cinco (5) dias que antecedem o dia do evento					Dia do Evento
		5º dia	4º dia	3º dia	2º dia	1º dia	
		13/03/2013	14/03/2013	15/03/2013	16/03/2013	17/03/2013	
	0	0,39	0,49	0,39	0,39	0,39	0,79

Os mapas de vulnerabilidade foram gerados por meio...



Vulnerabilidade para os dias 07, 08 e 09/01/2011 (respectivamente o 5º, 4º e 3º dia antes do dia do evento)

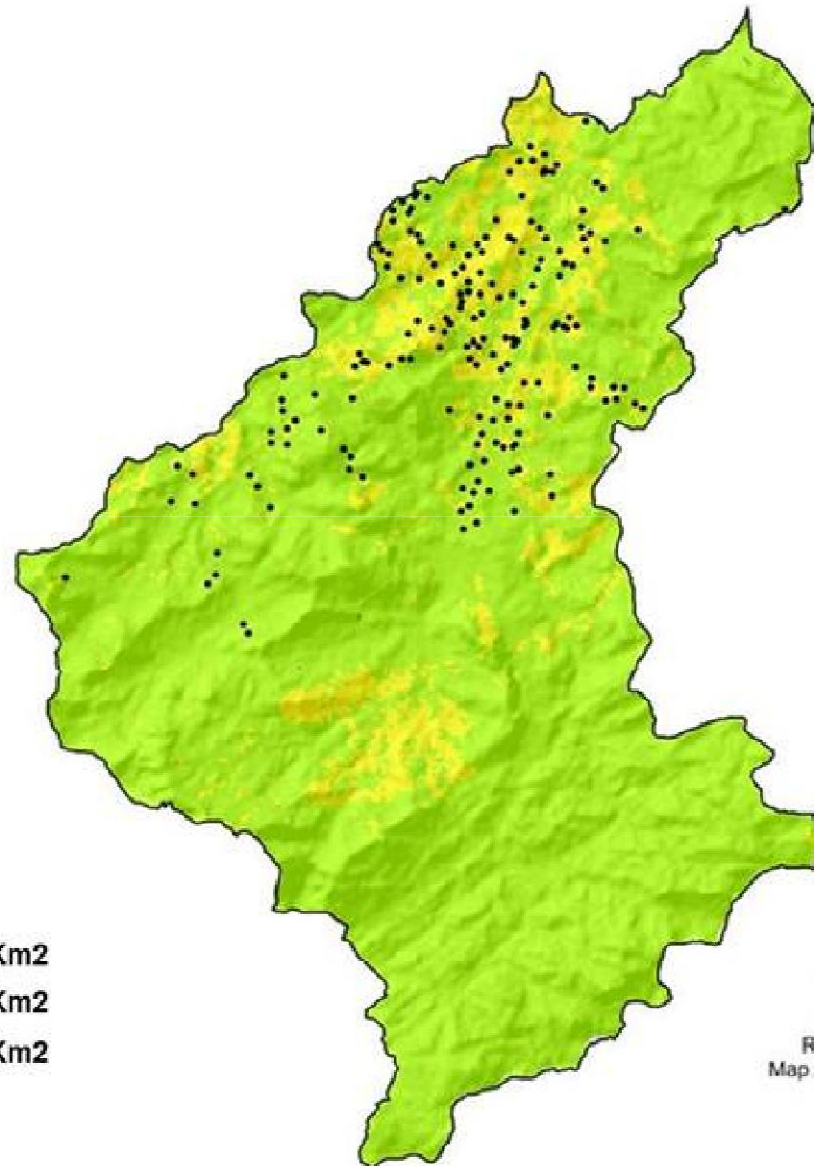
N

Legenda

- Escorregamentos

Vulnerabilidade

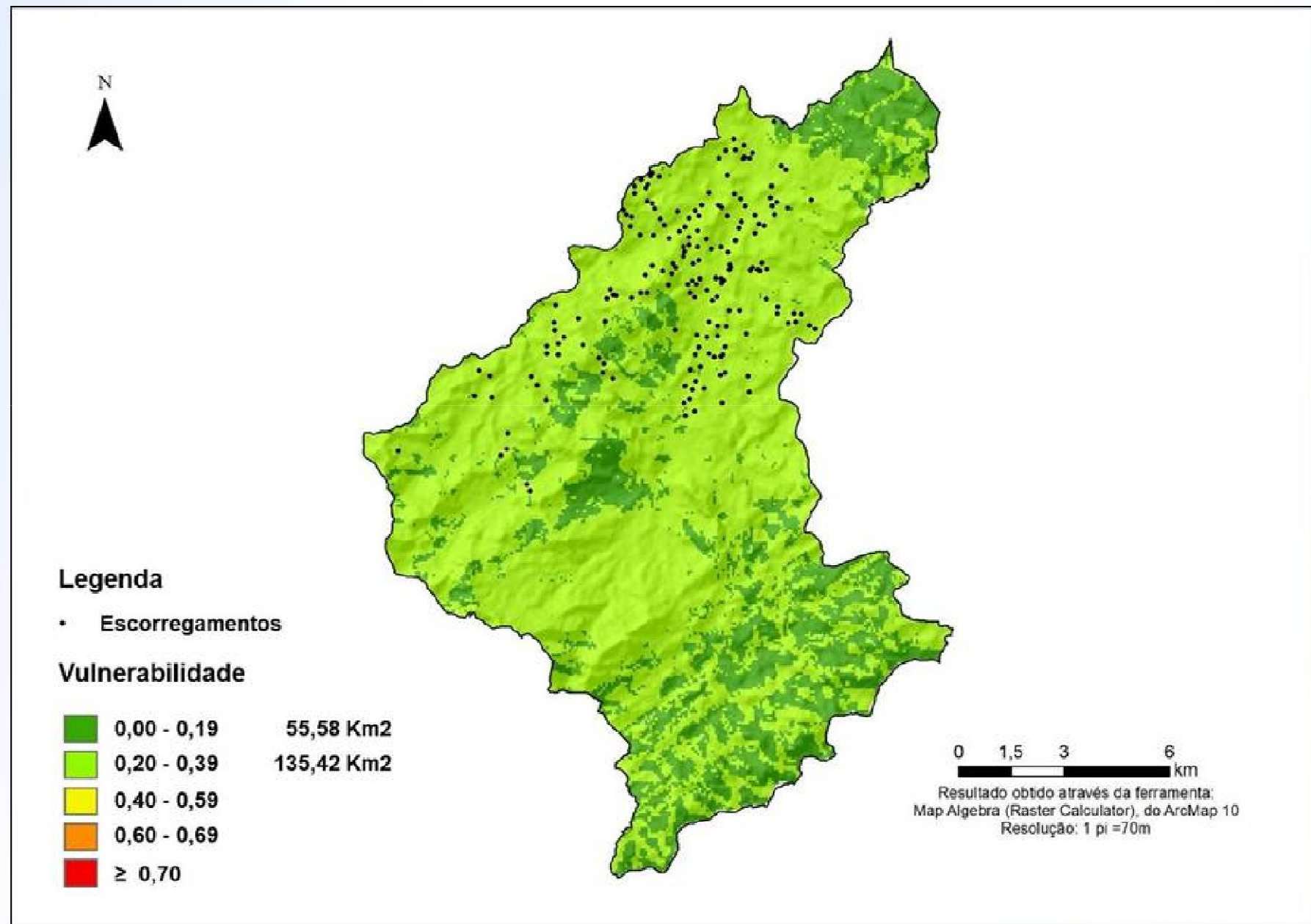
■	0,00 - 0,19	0,38 Km ²
■	0,20 - 0,39	170,95 Km ²
■	0,40 - 0,59	19,67 Km ²
■	0,60 - 0,69	
■	≥ 0,70	



Resultado obtido através da ferramenta:
Map Algebra (Raster Calculator), do ArcMap 10
Resolução: 1 pi =70m

Vulnerabilidade para o dia 10/01/2011

(2º dia antes do dia do evento)



Vulnerabilidade para os dias 11 e 12/01/2011

(1º dia antes do dia do evento e para o dia do evento)

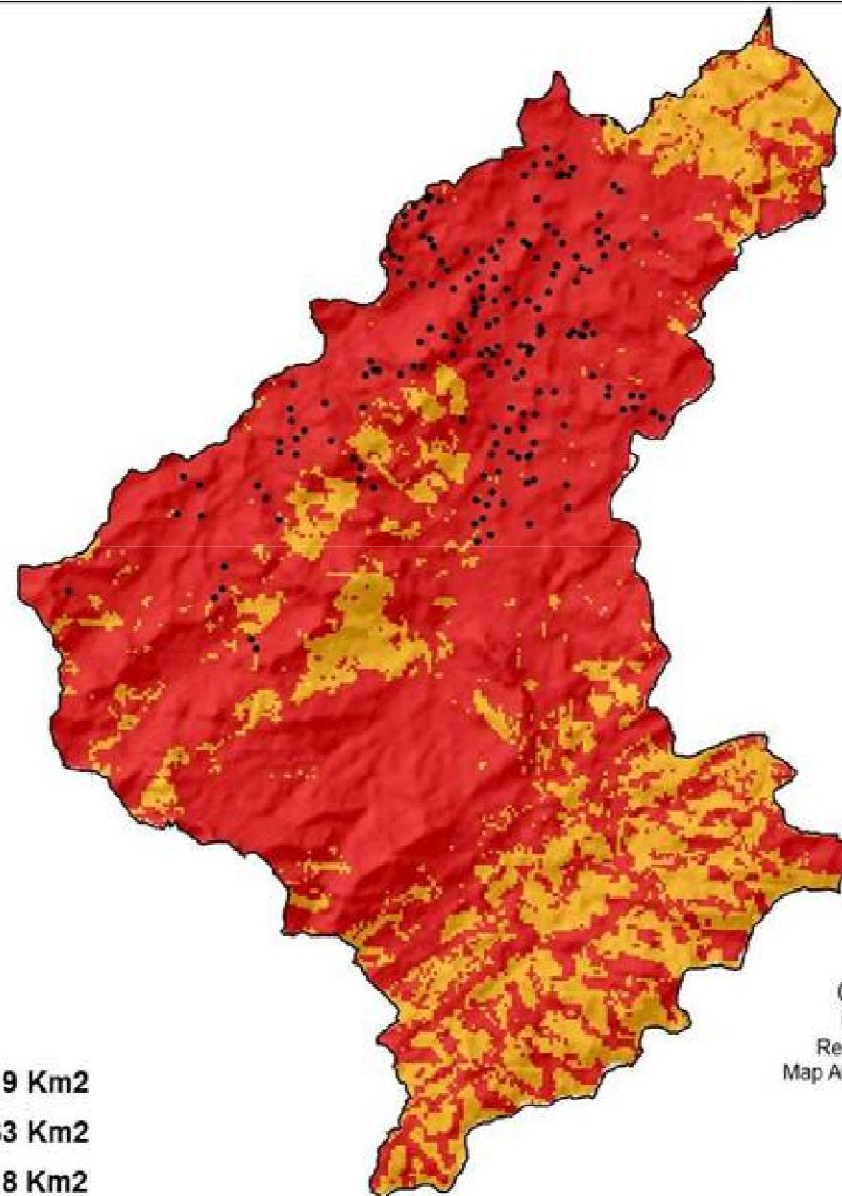


Legenda

- Escorregamentos

Vulnerabilidade

	0,00 - 0,19
	0,20 - 0,39
	0,40 - 0,59 0,19 Km ²
	0,60 - 0,69 54,63 Km ²
	≥ 0,70 136,18 Km ²

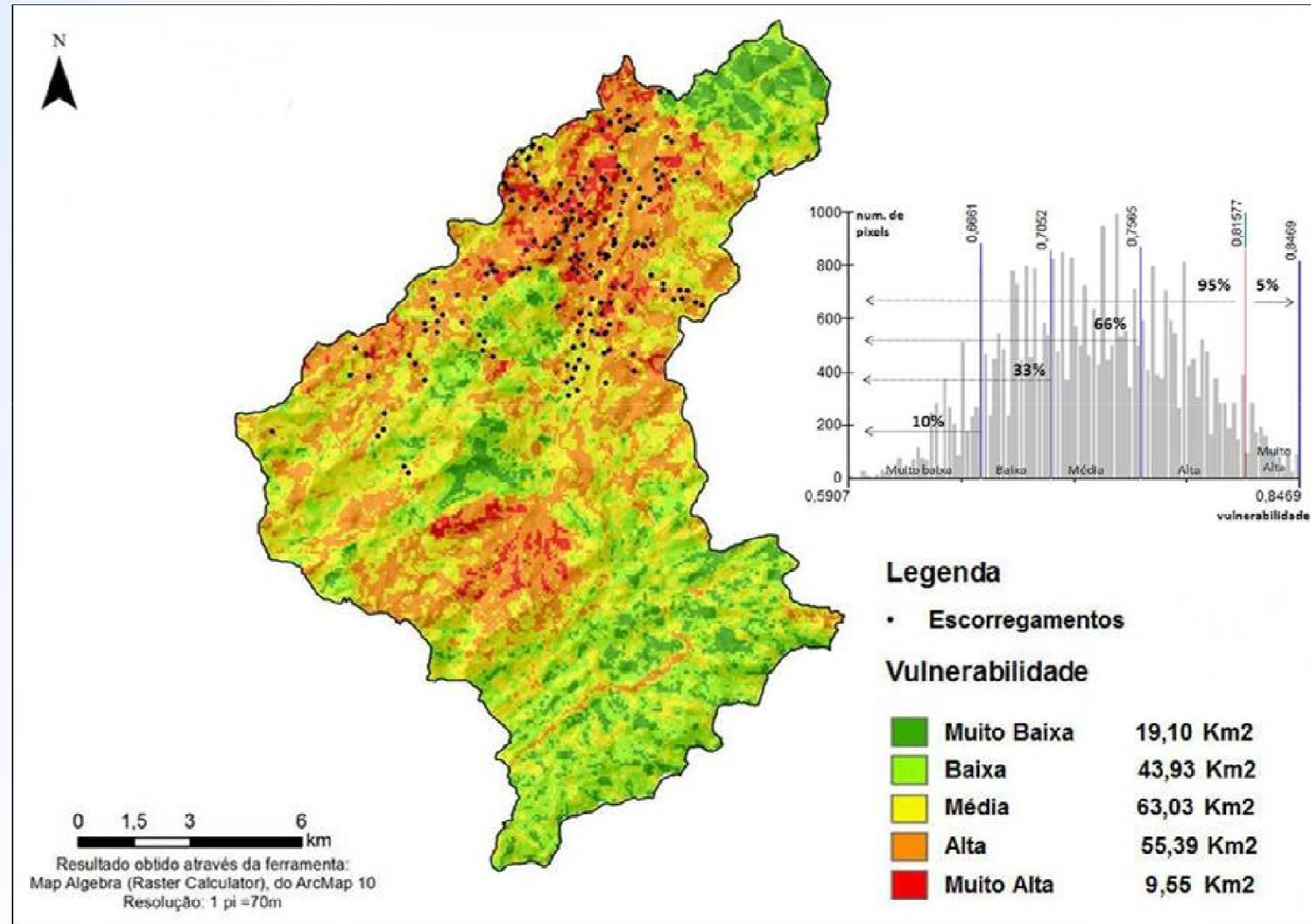


0 1,5 3 6
km
Resultado obtido através da ferramenta:
Map Algebra (Raster Calculator), do ArcMap 10
Resolução: 1 pi = 70m

- ✓ A primeira impressão é de que praticamente toda a área de estudo apresenta a mesma característica, porém a técnica de álgebra de mapas aplicada permite outras formas de categorização das áreas mais críticas da Bacia.
- ✓ Na literatura existem diversos estudos validados que indicam que a classe mais crítica de vulnerabilidade ocupa, normalmente, entre 3,5% e 8,0% das bacias analisadas (KAYASTHA et al., 2013; BAI et al., 2009; AYALEW et al., 2004).

- ✓ Neste trabalho, o limite para a classe de vulnerabilidade “muito alta” foi traçado para o percentil 95% como opção de visualização dos resultados apresentados no mapa de vulnerabilidade.
- ✓ Significa que a classe de vulnerabilidade “muito alta” está acima de 95% dos valores encontrados na Bacia, representando os 5% mais críticos da área em relação a escorregamentos de terra.

Vulnerabilidade para os dias 11 e 12/01/2011 (1º dia antes do dia do evento e para o dia do evento)



**Ausência de pixels na cor vermelha (classe muito alta)
próximos a pontos de escorregamentos no mapa de
vulnerabilidade para os dias 11 e 12/01/2011
(1º dia antes do dia do evento e para o dia do evento)**

- ✓ **Cada pixel tem uma resolução de 70 metros (resolução muito baixa para uma Bacia de 191 km²);**
- ✓ **É praticamente impossível de ser visualizado em uma figura(mapa) com 2.729 pixels (total de pixels do mapa de vulnerabilidade da Bacia); e**
- ✓ **Tal questão também foi muito discutida com meus orientadores de Portugal e do Brasil, mas infelizmente inovações relacionadas ao assunto andam a passos lentos.**

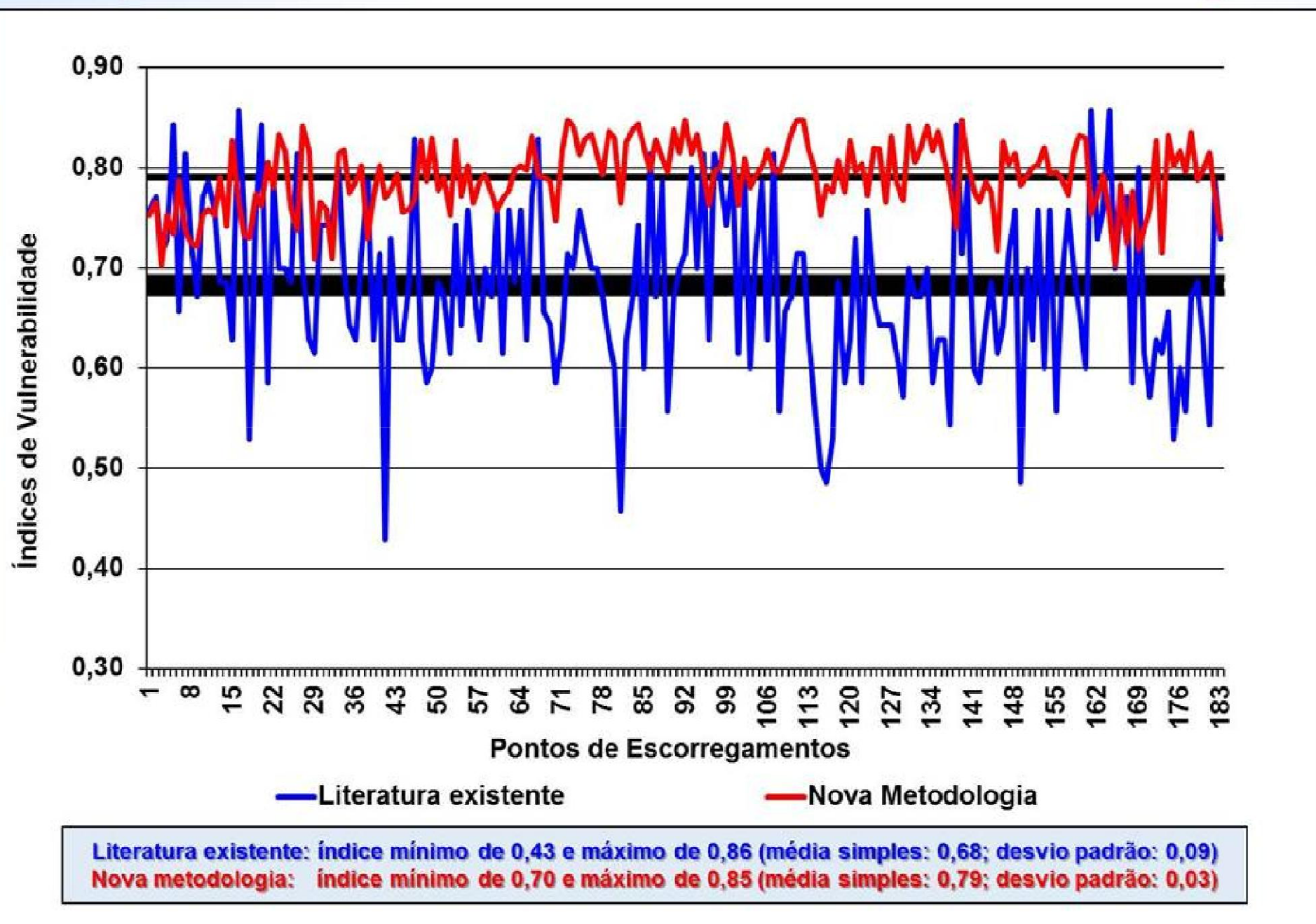
Comparando os Índices de Vulnerabilidade

*Metodologia
existente
na Literatura*

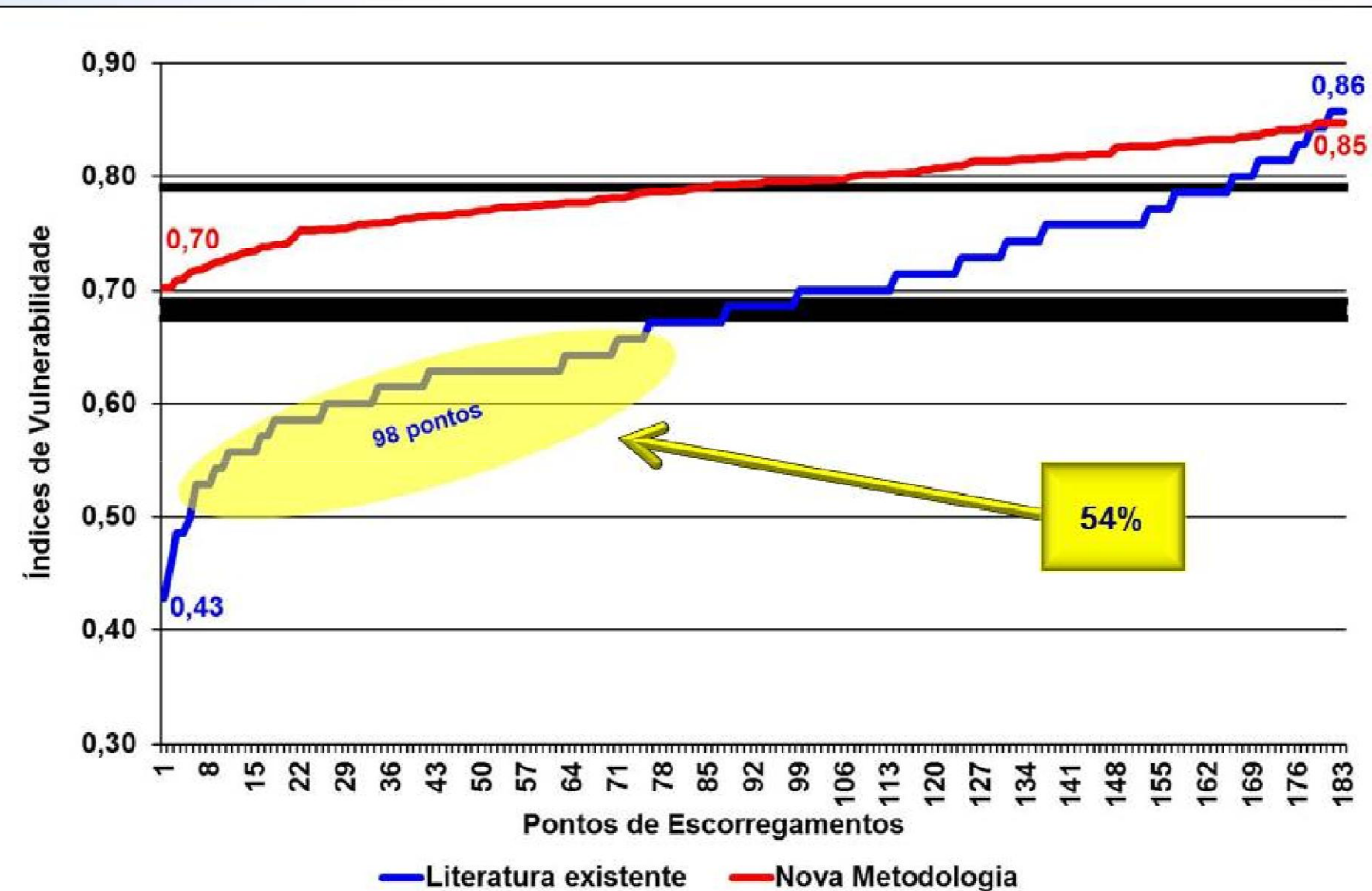
X

*Metodologia
proposta
neste Trabalho*

Comparando os Índices de Vulnerabilidade X Metodologias



Índices de Vulnerabilidade na ordem crescente



Literatura existente: índice mínimo de 0,43 e máximo de 0,86 (média simples: 0,68; desvio padrão: 0,09)
Nova metodologia: índice mínimo de 0,70 e máximo de 0,85 (média simples: 0,79; desvio padrão: 0,03)

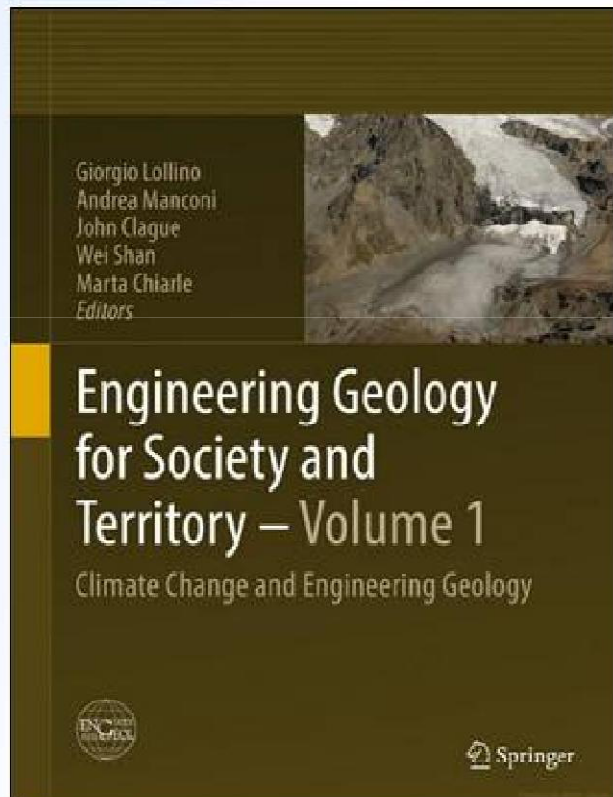
Conclusões

- As novas metodologia foram eficientes nos 4 eventos de alta precipitação ocorridas na área de estudo, 2 com e 2 sem escorregamentos.
- Se mostrou eficaz, pois foi capaz de registrar todos os 183 escorregamentos, enquanto que a metodologia existente da literatura deixou de apontar 98 (54%) destes desastres.
- Observou-se que quando o índice de vulnerabilidade for $\geq 0,70$ (limiar crítico) para dois 2 dias consecutivos, a incidência destes tipos de desastres é “muito alta”.

Conclusões

- Pode ser utilizada universalmente na prevenção, monitoramento e previsão de escorregamentos de terra por:
 - Centros e Institutos de Pesquisas;
 - Governos (Federal, Estaduais e Municipais); e
 - Gestores públicos e profissionais envolvidos no parcelamento, uso e ocupação do solo.

Metodologias desenvolvidas foram publicadas como capítulo de livro



SpringerLink

Search

Home Contact Us

Look Inside Get Access

Chapter
Engineering Geology for Society and Territory - Volume 1
pp 139-148

Date: 24 August 2014

Susceptibility and Vulnerability to Landslides—Case Study: Basin of River Bengalas—City of Nova Friburgo—Brazil

L. T. Silva, E. P. F. M. Sampaio, J. A. M. Costa-Reis, D. A. Rodriguez, F. Camarota Madeiros, B. E. Moraes, D. G. M. Franga

Buy chapter \$29.95 / €24.95 / £19.95 *
Buy eBook \$279.00 / €208.24 / £179.50*
Get Access * Final gross price may vary according to local VAT

DOI 10.1007/978-3-319-09300-0_101

Abstract

Landslides have frequently occurred in last years, due to the disorderly growth of the cities and the occupation of risk areas by the poor population, causing social, environmental and economic impacts. Urban areas in expansion move to geologically unstable areas and topographically inclined, such as the River Bengalas Basin, located in the city of Nova Friburgo, mountainous region of the State of Rio de Janeiro, Brazil. This article aims to present the model developed and used to evaluate the susceptibility and vulnerability of the River Bengalas Basin to landslides, which in January 2011, with the occurrence of heavy rains, caused landslides that impacted in the death of 429 people in city of Nova Friburgo. For the case study, several investigations have been made related to the areas of the basin, such as slope, soil conditions, lithology, land use and cover, vertical curvature (Very Convex, Convex, Flat, Concave, Very Concave), horizontal curvature (Very Divergent, Divergent, Flat, Convergent, Very Convergent), and precipitation data. With this study it was possible to understand how the natural and anthropic elements of the basin are related to the local dynamics of the disasters regarding to their interferences in the induction of landslides; evaluate the effectiveness of the guidelines of the Plano Diretor Participativo of the city of Nova Friburgo regarding the landslides; identify the susceptible and vulnerable areas to landslides and assess the rates of susceptibility and vulnerability to landslides from new calculation model proposed.

Chapter Metrics

Downloads 29
Provided by Bookmetrix

Reference tools

Export citation Add to Papers 12

Other actions

About this Book 12 Reprints and Permissions 12

Share

Facebook Twitter LinkedIn

As novas metodologias foram aprovadas para apresentação oral em Congressos Internacionais

**IAEG XII CONGRESS
Torino, Italy
September/2014**



IAEG XII CONGRESS

**XVI SELPER
Medellín, Colombia
Octubre/2014**



Revista Brasileira de Cartografia - Edição Especial de Desastres Naturais

sob as projeções de mudanças climáticas do ETA-HADGEM-ES RCP 4.5 (Res. 20 km)

Período: 01/01/2016 a 30/12/2040



REVISTA BRASILEIRA DE CARTOGRAFIA

[CAPA](#) [SOBRE](#) [ACESSO](#) [CADASTRO](#) [PESQUISA](#) [ATUAL](#) [ANTERIORES](#) [NOTÍCIAS](#)

[Capa](#) > v. 66, n. 7 (2016) > 319a

A VULNERABILIDADE A ESCORREGAMENTOS DE TERRA DA BACIA DO RIO BENGALAS - NOVA FRIBURGO - BRASIL SOB AS PROJEÇÕES DE MUDANÇAS CLIMÁTICAS DO ETA-HADGEM-ES RCP 4.5 / THE VULNERABILITY TO LANDSLIDES IN THE BASIN OF THE BENGALAS RIVER - NOVA FRIBURGO - BRAZIL REGARDING THE CLIMATE CHANGE PROJECTION OF THE ETA-HADGEM-ES RCP 4.5

Luz Tânia da Silva, Daniel Andrez Rodrigues, José Mário da Silva Braga, José Lúcio de Siqueira Júnior, Elias Paula Figueira Ferreira Murguia de Sampaio, João Alexandre Medina Corrêa-Resil, Pedro Ivo Idemir Camaroto

RESUMO

O documento final da Conferência Mundial para a Redução de Desastres ocorrida em Kobe - Japão, no ano de 2005, chama a atenção para a necessidade de desenvolver sistemas de indicadores de risco e vulnerabilidade a nível nacional e subnacional, como forma de permitir aos tomadores de decisão um melhor diagnóstico das situações de risco e vulnerabilidade. Áreas urbanas em sua expansão avançam para áreas geologicamente instáveis e topograficamente inclinadas, como é o caso da Bacia do Rio Bengalas, localizada no Município de Nova Friburgo, Brasil. Em janeiro de 2011, com a ocorrência de fortes chuvas na Região Serrana do Estado do Rio de Janeiro, foram registrados 183 escorregamentos de terra somente na Bacia do Rio Bengalas, causando perdas humanas, econômicas e ambientais. Sob o efeito das mudanças climáticas são esperadas mudanças na frequência e magnitude dos eventos de precipitação extrema que afetam a vulnerabilidade a desastres e podem se tornar preocupantes a condição de vida das populações que vivem principalmente em áreas de riscos a escorregamentos de terra. Neste contexto, este trabalho tem por objetivo estudar a vulnerabilidade a escorregamentos de terra da Bacia do Rio Bengalas para o período de 01/01/2016 a 30/12/2040, utilizando índices de vulnerabilidade a escorregimentos de terra que se mostraram eficazes na prevenção, monitoramento e previsão a estes tipos de desastres. Os índices indicam apenas a ocorrência de um evento de vulnerabilidade a escorregimentos de terra, associado com a ocorrência de um evento de alta intensidade de precipitação. Este resultado está de acordo com a diminuição das precipitações médias e extremas na região associadas com as projeções ETA-HadGEM-ES RCP 4.5 e relatadas na literatura científica.

TEXTO COMPLETO:

[PDF](#)

Fonte: <http://www.lsie.unb.br/rbc/index.php/rbc/article/view/1352>

Downloads

Artigo: A VULNERABILIDADE A ESCORREGAMENTOS DE TERRA DA BACIA DO RIO BENGALAS - NOVA FRIBURGO - BRASIL SOB AS PROJEÇÕES DE MUDANÇAS CLIMÁTICAS DO ETA-HADGEM-ES RCP 4.5 / *The Vulnerability to Landslides in the Basin of the Bengalas River - Nova Friburgo - Brazil Regarding the Climate Change Projection of the Eta-HadGEM-ES RCP 4.5*

<http://www.lsie.unb.br/rbc/index.php/rbc/article/view/1352>

Tese: VULNERABILIDADE AO ESCORREGAMENTO DE TERRAS - ESTUDO DE CASO: BACIA DO RIO BENGALAS, 2011

<http://mtc-m21b.sid.inpe.br/rep/sid.inpe.br/mtc-m21b/2014/02.24.18.39?mirror=sid.inpe.br/mtc-m21b/2013/09.26.14.25.22&metadatarepository=sid.inpe.br/mtc-m21b/2014/02.24.18.39.47>



Agradecimentos

Professora Doutora Elsa Sampaio

ECTUE

Escola de Ciências e Tecnologia da Universidade de Évora

DGEO

Departamento de Geociências



Obrigado!

Doutor Luiz Tadeu da Silva

CCST/INPE

Tel: 0055 12 3186 9372

luiz.tadeu@inpe.br